



dRICH electronics integration and SiPM

Roberto Preghenella

INFN Bologna

activities involving BO, CS, CT, FE, SA, TO, TS

electronics integration

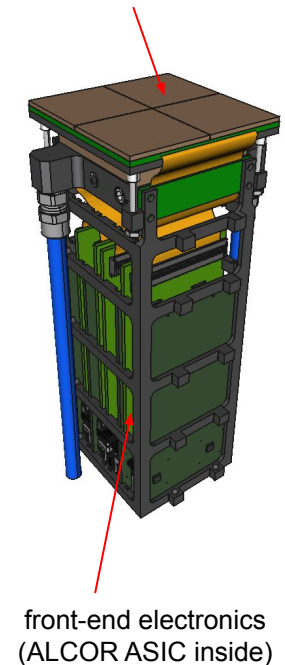
2024 test beam at CERN-PS

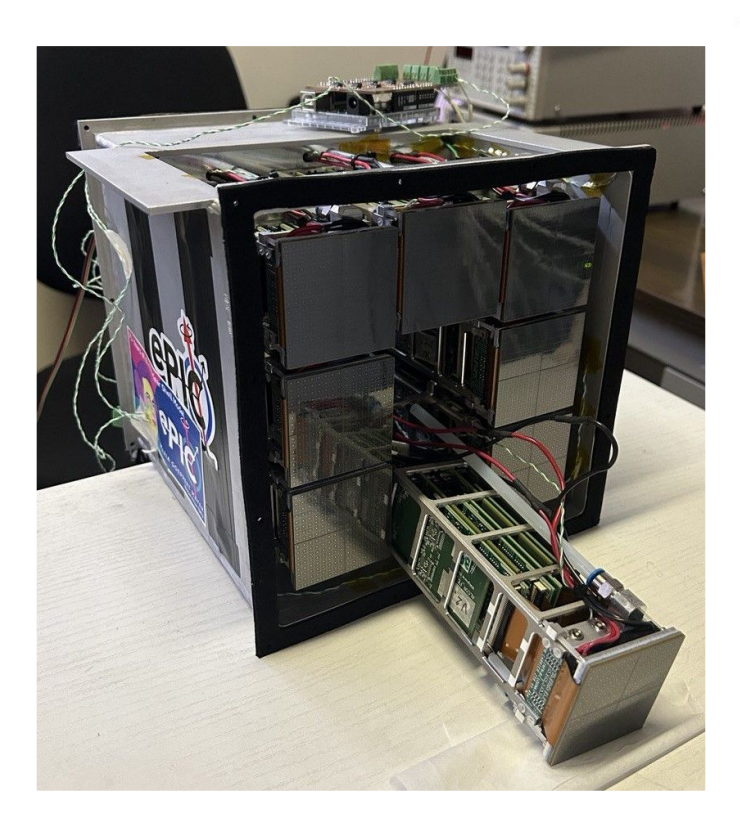


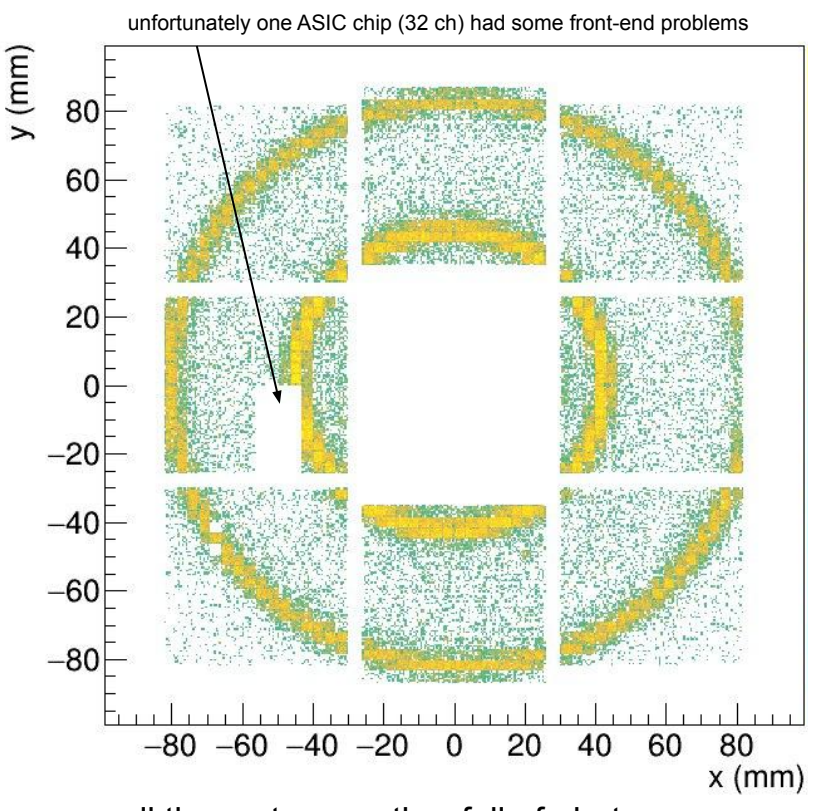
successful beam test with prototype v2 of the SiPM photodetector units (CERN-PS, ended on 5th June)

PDU

4x SiPM matrix arrays (256 channels)







all the rest was rather full of photons

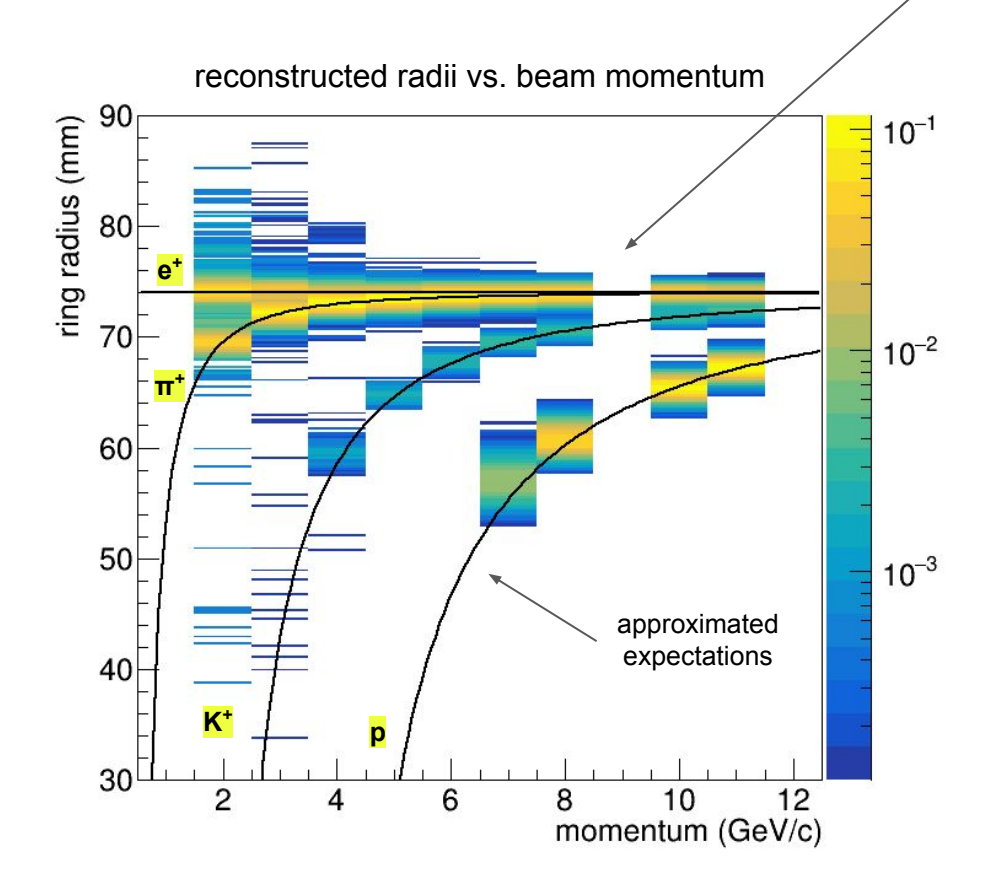
> 2000 SiPMs with TDC readout at work

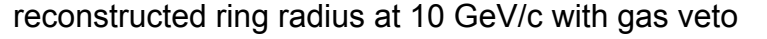
Beam momentum scan

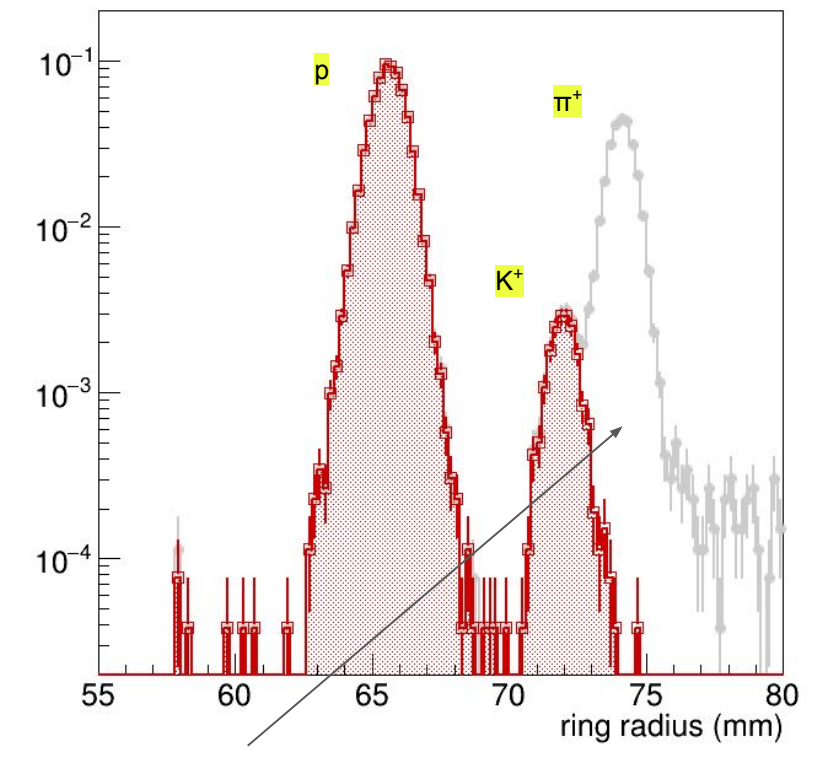
something went wrong with the beam configuration for 9 GeV (that's a pity, data seems not good)







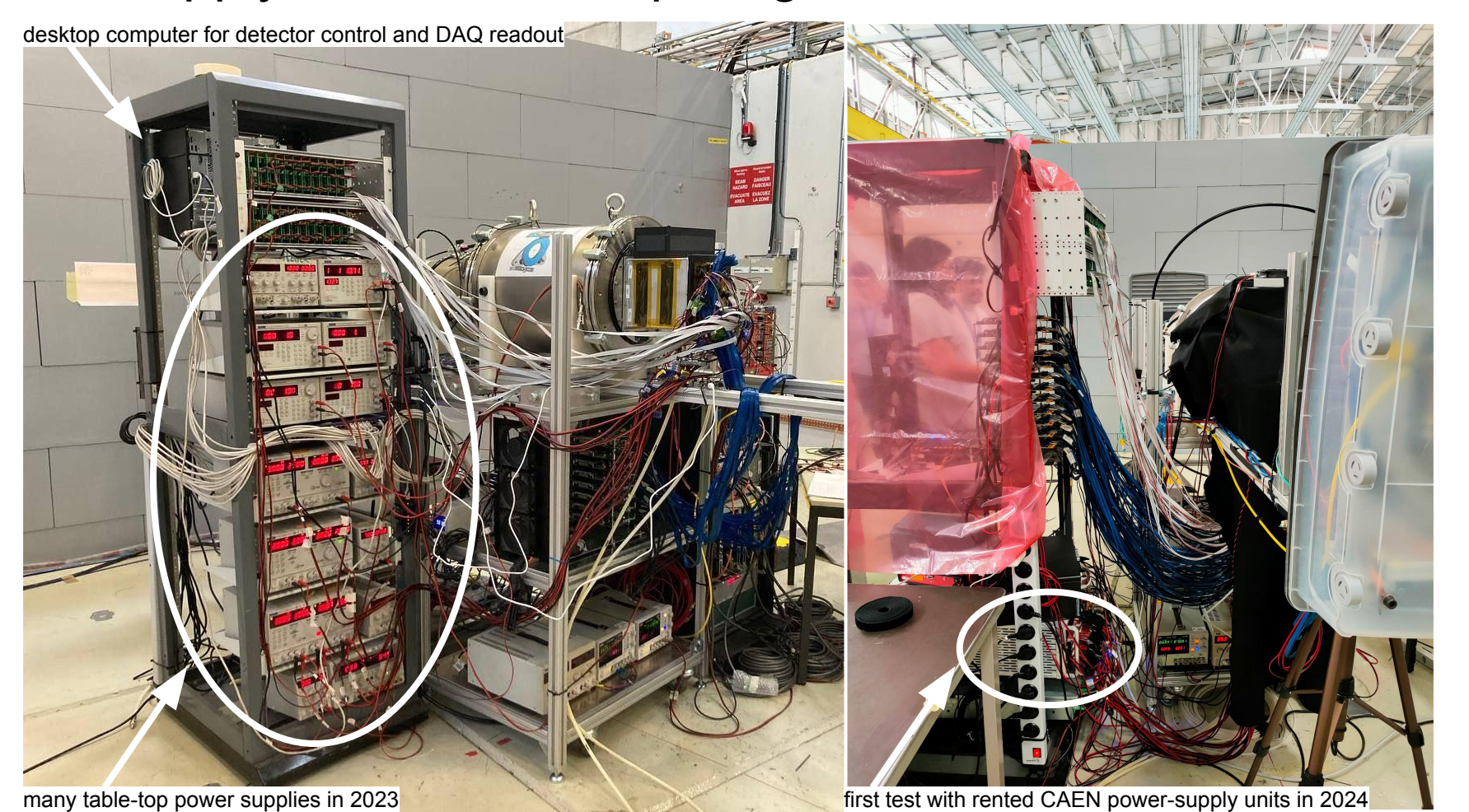




gas-ring veto removes pions, clean kaon identification at 10 GeV/c

Power supply and DAQ-computing needs





Power supply system



richiesta di 9.5 kEUR su Inventario Bologna

- nel test beam del 2024 è stato utilizzato
 - un main-frame CAEN SY5527 preso in prestito dall'esperimento ALICE
 - PS booster noleggiato dal electronics-pool del CERN (conto pagato da ALICE)
 - schede per LV noleggiate dal electronics-pool del CERN (conto pagato da ALICE)
- richieste nei preventivi 2025
 - 1x Universal Multichannel Power Supply System CAEN SY5527
 - non assegnato
 - 1x 8 Channel 8 V/12 A Full Floating Channel Board CAEN A2551
 - 1x 8 Channel 16 V/6 A Full Floating Channel Board CAEN A2552
 - 1x 8 Channel 32 V/3 A Full Floating Channel Board CAEN A2553
- richieste nei preventivi 2026
 - 1x Universal Multichannel Power Supply System CAEN SY5527
 - si ribadisce necessità
 - 1x 8 Channel 64 V/1.5 A Full Floating Channel Board CAEN A2554
 - per SiPM HV, ora disponibile a catalogo

Fondamentale disporre localmente di un sistema di alimentazione orientato ai requisiti sperimentali per sviluppare, testare e fare il debug dell'integrazione e dell'alimentazione di tutto il sistema. Abbiamo riscontrato qualche piccolo problema di rumore durante il test su fascio.

Computer system per DAQ, readout e sincronizzazione



richiesta di 18 kEUR su Inventario Bologna

nel test beam del 2024

- utilizzato un sistema DAQ basato su interfacce e cavi Ethernet standard
- o computer e generatore di impulsi in prestito per l'acquisizione dati e sincronizzazione del sistema
- fatta molta fatica con lo storage dei dati durante il test beam e tuttora è un po' complesso accesso per analisi

richieste nei preventivi 2025

- generatore di impulsi Aim-TTi TGP3152 → non assegnato
- scheda GPU NVIDIA L4 per ricostruzione parallela e analisi dati dRICH → non assegnato
- \circ server bi-processore prestazionale con SFP ottici per DAQ \rightarrow non assegnato

richieste nei preventivi 2026

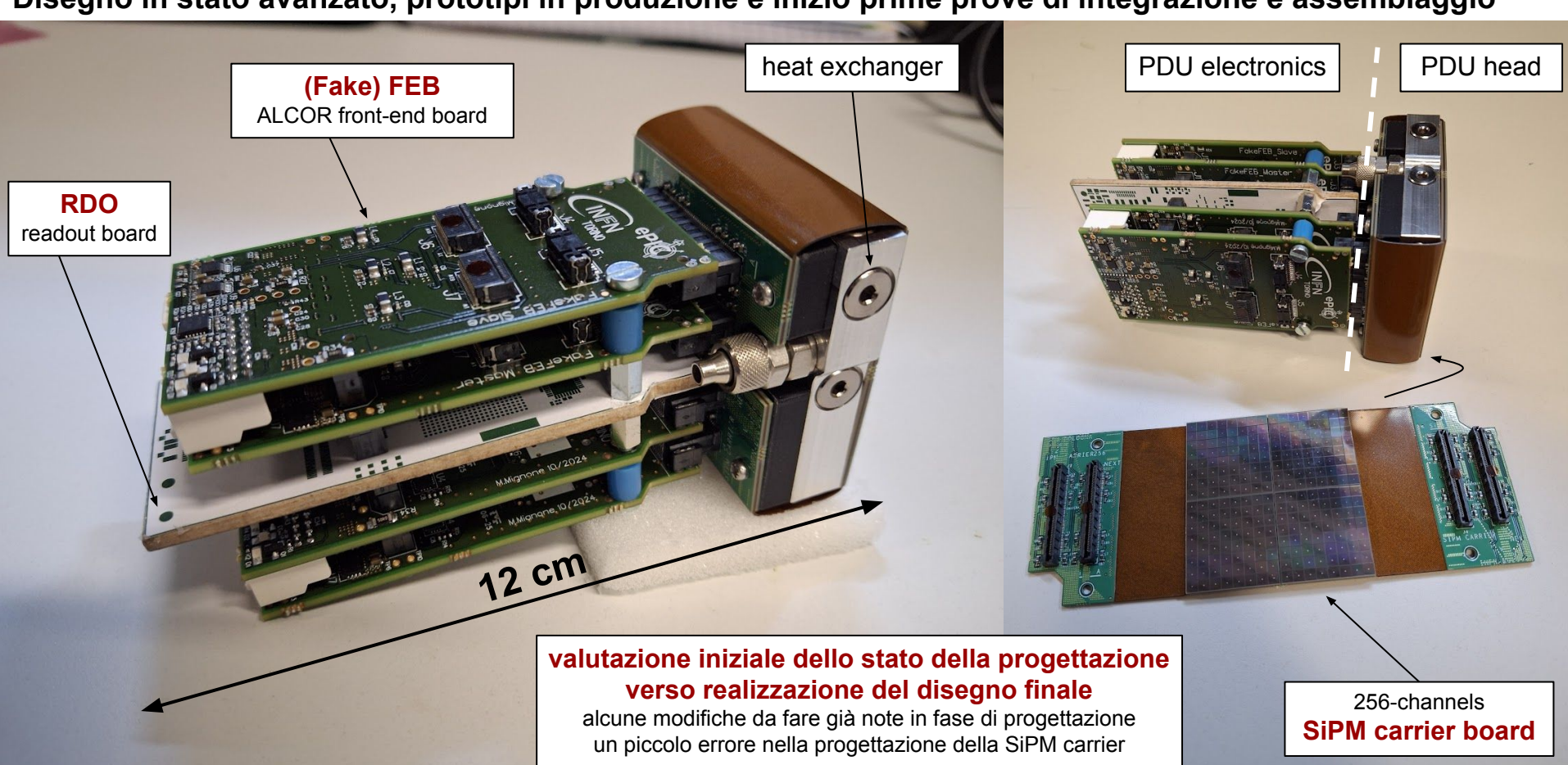
- o generatore di impulsi Aim-TTi TGP3152 → <u>si ribadisce necessità</u>
 - fondamentale per la sincronizzazione del sistema di readout
- server bi-processore prestazionale con SFP ottici per DAQ → si ribadisce necessità
 - fondamentale per la lettura ad alte prestazioni delle schede RDO via fibra ottica con interfaccia SFP
- o dischi per storage aggiuntivo di 10 TB in configurazione RAID5 → nuova necessità
 - fondamentale per salvataggio dati test beam garantendo la sicurezza dei dati salvati e rapido accesso per l'analisi
- scheda GPU NVIDIA L4 per ricostruzione parallela e analisi dati dRICH → <u>si ribadisce richiesta</u>
 - richiesta per migliorare prestazioni di analisi dati che possono beneficiare di accelerazione GPU

Questo sistema è necessario per i test beam del dRICH (presa dati e analisi offline), e per il continuo sviluppo in laboratorio del firmware e dei sistemi di acquisizione RDO. La facility di calcolo supporterà inoltre la nuova attività su streaming readout per calibrazione online, che beneficia della GPU anche per tecniche AI/ML

PDU in direzione della versione finale



Disegno in stato avanzato, prototipi in produzione e inizio prime prove di integrazione e assemblaggio



Pre-produzione di 10 PDU complete



Disegno finale dei vari componenti della PDU completato nel 2026, pre-produzione e verifica integrazione

componenti base per la pre-produzione di 10 PDU

- 10x SiPM carrier boards
 - ognuna equipaggiata con 4 matrici SiPM da 64 canali ciascuna
- o 10x piastre scambiatore di calore per raffreddamento SiPM con fluido
 - utilizzate anche per il processo di annealing
 - inclusa ferramenta, raccordi e tubazioni necessarie
- 40x schede FEB ALCOR front-end boards
 - ognuna equipaggiata con con 1 chip ALCOR-64
- 10x schede RDO readout boards
 - ognuna equipaggiata con 2 FPGA e un transceiver ottico VTRX+
- o materiali, componenti e cavi
 - necessari per l'assemblaggio e il collaudo delle 10 PDU

richiesta di 81 kEUR su Apparati suddivisa in

- o <u>45 kEUR</u> su Bologna per 10x <u>SiPM Head</u> (carrier e piastra scambiatore) e materiali assemblaggio
- 16 kEUR su Bologna per 10x schede RDO
- o <u>20 kEUR</u> su Torino per 40x <u>schede FEB</u> ALCOR-64

operazioni di pre-produzione, assemblaggio e collaudo fondamentali per

- o verificare prima della produzione di massa che tutti i componenti e i materiali siano adeguati
- o iniziare a definire i protocolli di costruzione e di controllo qualità
- valutare le capacità delle aziende e definire le necessità per la produzione di massa
 - spazi, armadi, banchi di lavoro, strumentazione, ...

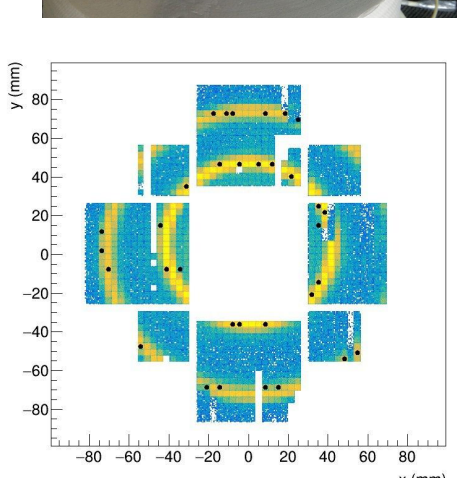
from the first prototype

2022

electronics v1



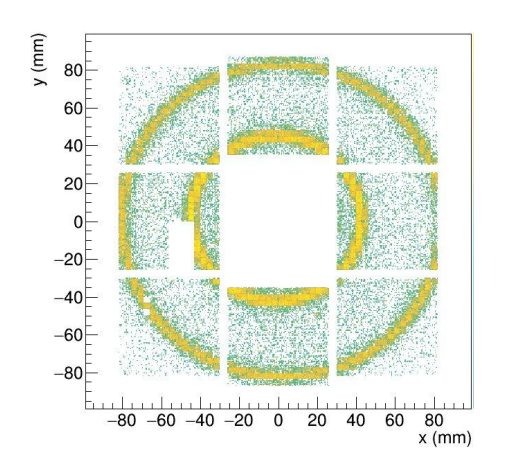




towards detector construction

2024







electronics v3 final prototype



SiPM procurement might start next year



±5 ns timing cut

SiPM sensors

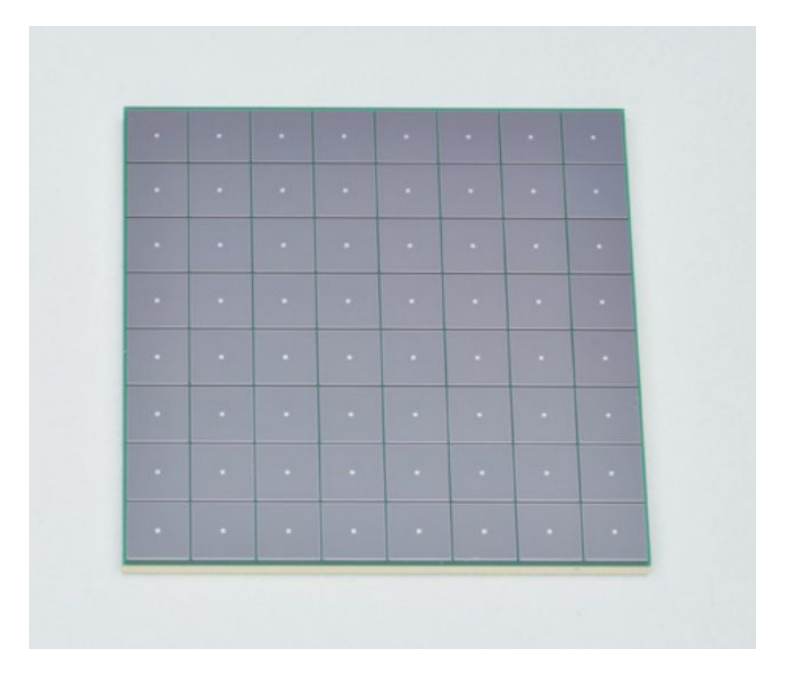
Technical Specifications

SiPM sensors

- ~ 3 m² total surface
- o 3x3 mm² pixel

baseline device

64 (8x8) channel SiPM array

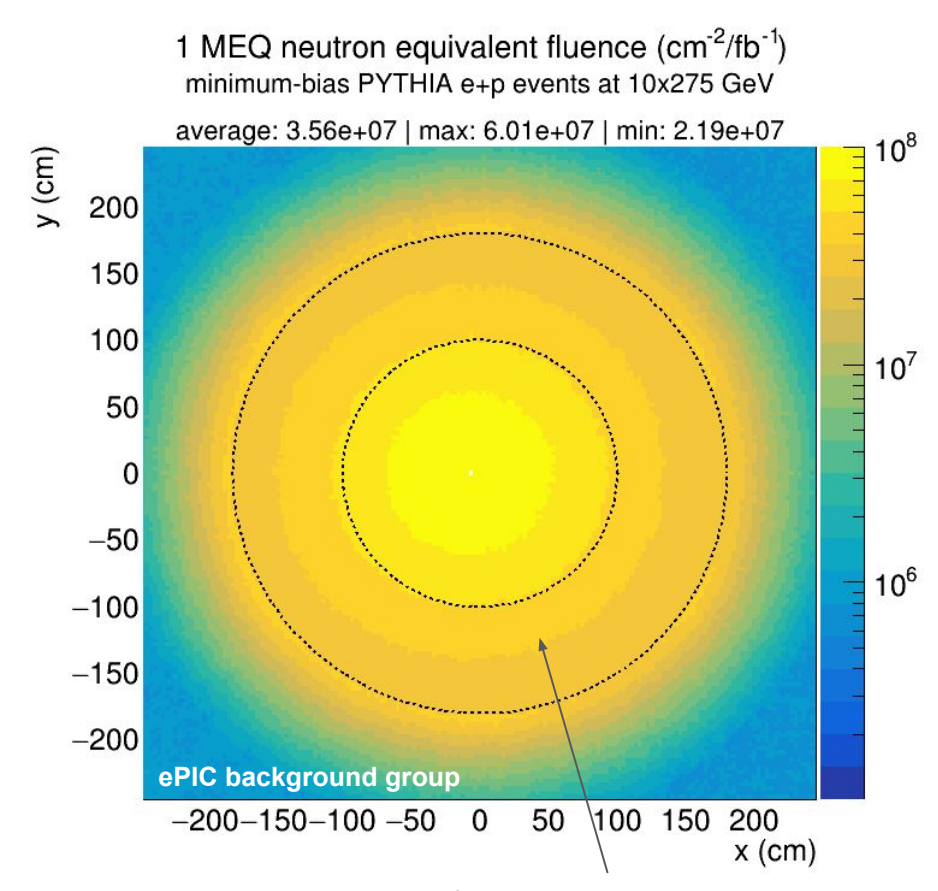


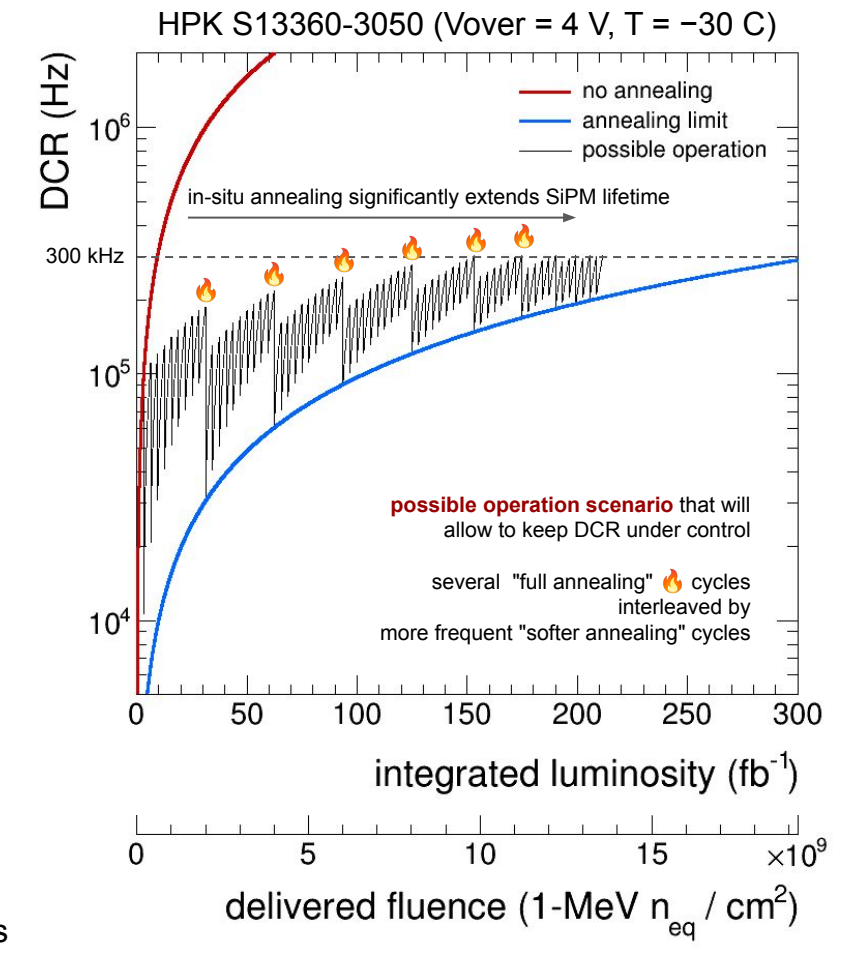
Parameter	Value	Notes
Package type	SiPM array	
Package dimension	$< 26 \times 26 \text{ cm}^2$	
Mounting technology	surface mount	
Number of channels	64	
Matrix layout	8×8	
Channel size	$3 \times 3 \text{ mm}^2$	
Fraction of active area in package	> 85%	
Microcell pitch	50 - 75 μm	
Protective window material	silicone resin	radiation & heat resistant
Protective window refractive index	1.55 - 1.57	
Spectral response range	300 to 900 nm	
Peak sensitivity wavelength (λ_{peak})	400 - 450 nm	
Photon detection efficiency at $\hat{\lambda}_{peak}$	> 40%	
Breakdown voltage (V _{break})	< 60 V	
Operating overvoltage (Vover)	< 5 V	
Operative voltage (Vop)	< 64 V	
Max V _{op} variation between channels	< 100 mV	at $T = -30^{\circ}C$
Channel dark count rate (DCR)	< 50 kHz	900 mg/s
DCR at $T = -30^{\circ}C$	$< 5 \mathrm{kHz}$	at $T = -30^{\circ}C$
DCR increase with radiation damage	$< 500 \text{ kHz}/10^9 \text{ n}_{eq}$	at $T = -30^{\circ}C$
Residual DCR after annealing	$< 50 \text{ kHz} / 10^9 \text{ n}_{eq}$	at $T = -30^{\circ}C$
Terminal capacitance	< 500 pF	
Gain	$> 1.5 \ 10^6$	
Recharge time constant (τ)	< 100 ns	
Crosstalk (CT)	< 5%	
Afterpulsing (AP)	< 5%	
Operating temperature range	−40 to 25°C	
Single photon time resolution (SPTR)	< 200 ps FWHM	

Table 8.5: Baseline specifications of the SiPM sensor devices for the dRICH photodetector. All parameters are defined at room temperature ($T = 25^{\circ}C$) and at the operating voltage V_{op} , unless otherwise specified.

Radiation Level Estimates Update

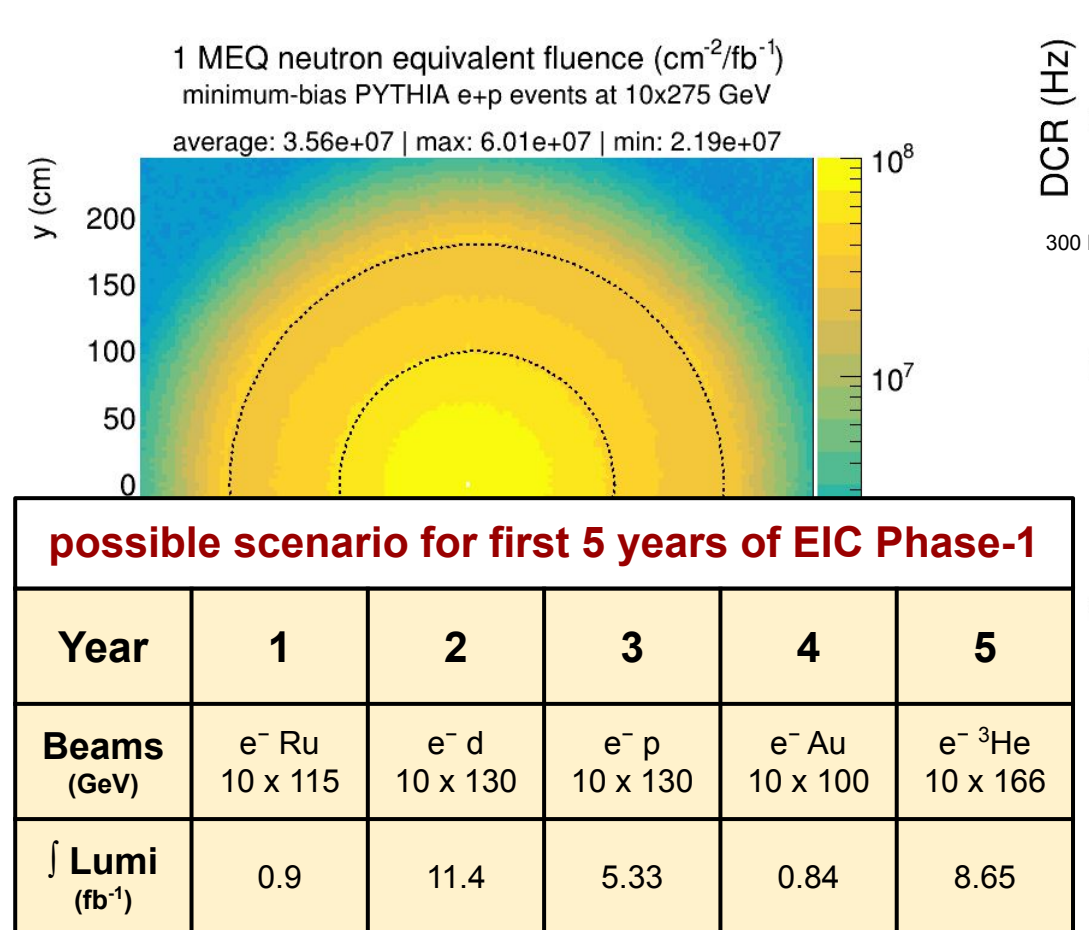


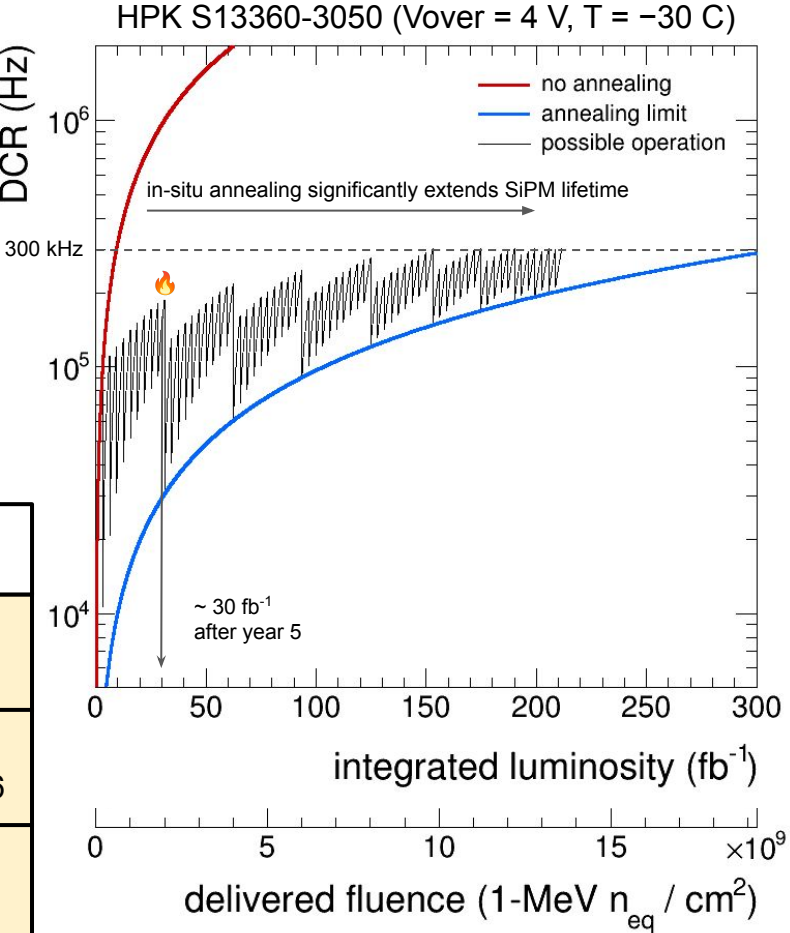




Radiation Level Estimates Update

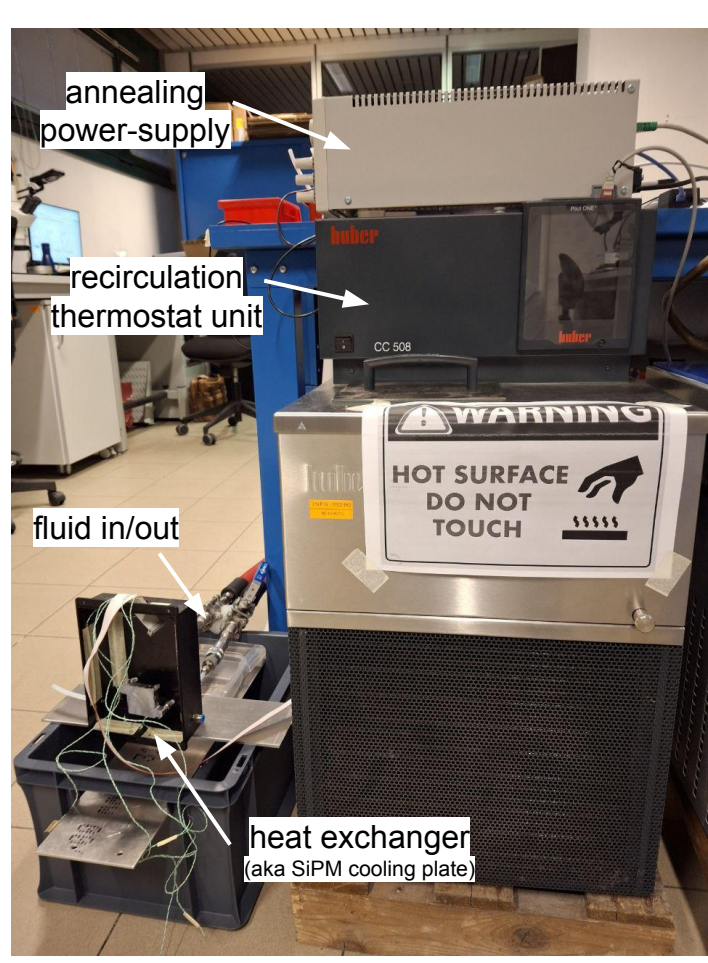






Fluid-Assisted Online Self-Annealing Process



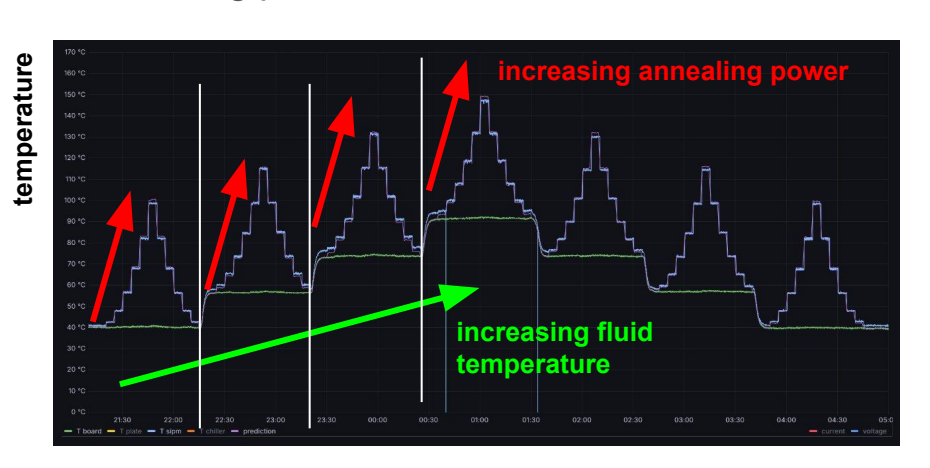


new dedicated laboratory test-stand

fluid-based (silicone) circulating thermostat system keep the SiPM PCB board at a controlled temperature cooling (-55 C) and heating (105 C) mode possible while delivering forward-bias current for annealing

SiPM temperature measurements as function of

- circulating-fluid temperature
- annealing power

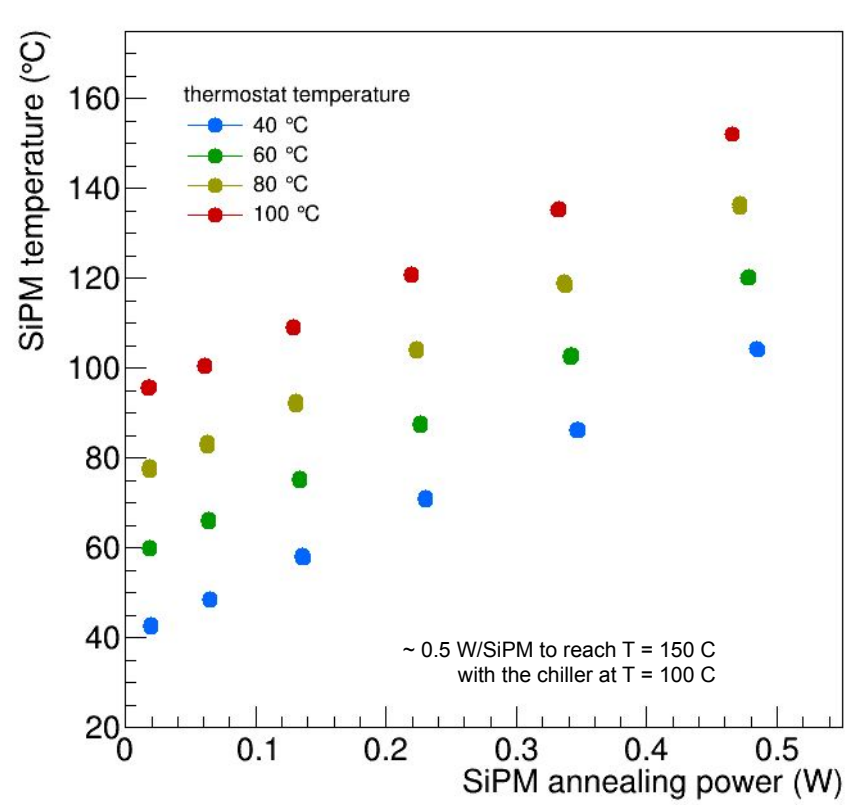


Forward-Bias Annealing Control

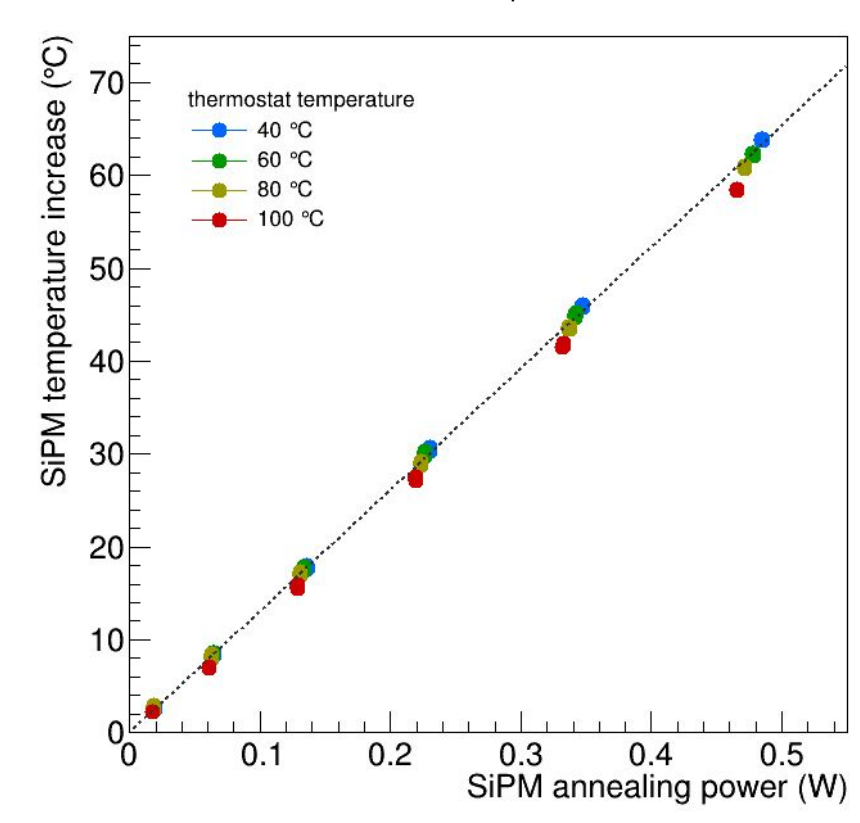


SiPM temperature increases proportionally to annealing power





constant increase wrt. the temperature of the PCB board

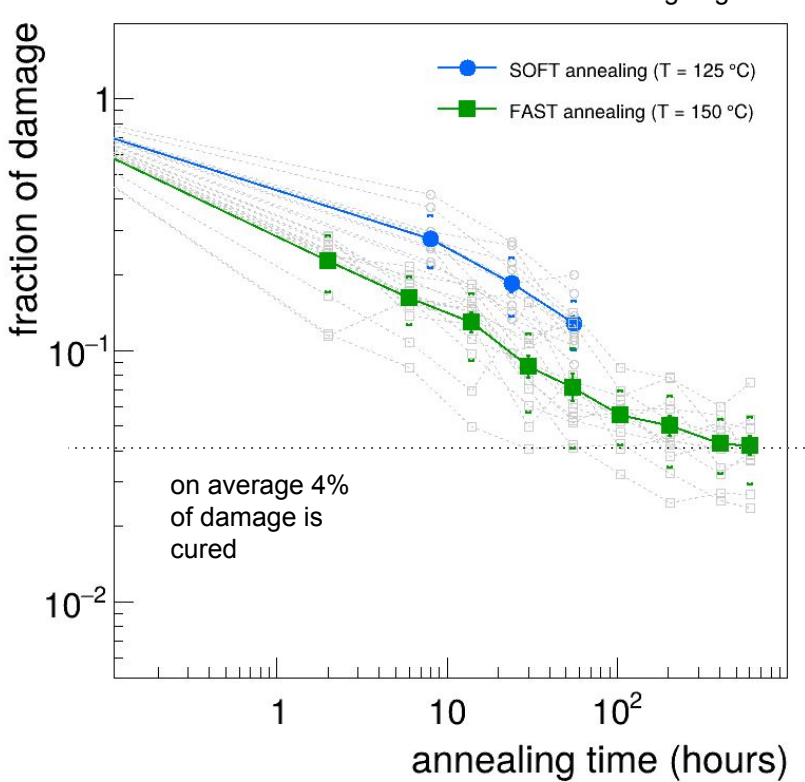


measure temperature of the PCB board (we have 4 NTC temperature sensors) and the amount of annealing power → predict the SiPM temperature

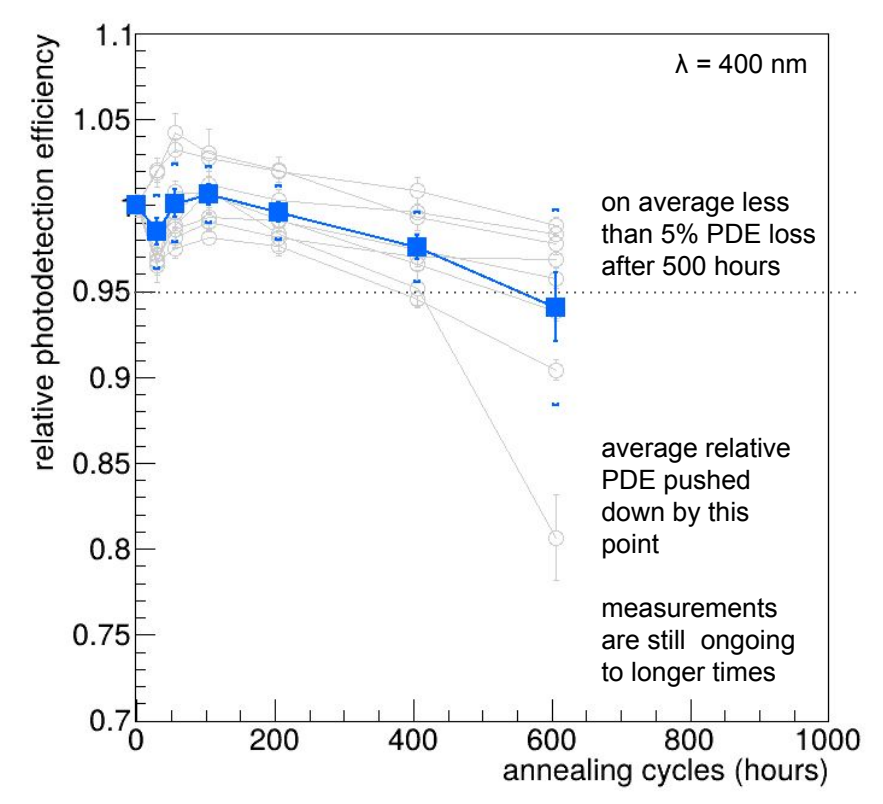
Results using the simplified-but-realistic annealing setup



fraction of damage decreases with annealing integrate time these data will be instrumental to refine the SiPM ageing model



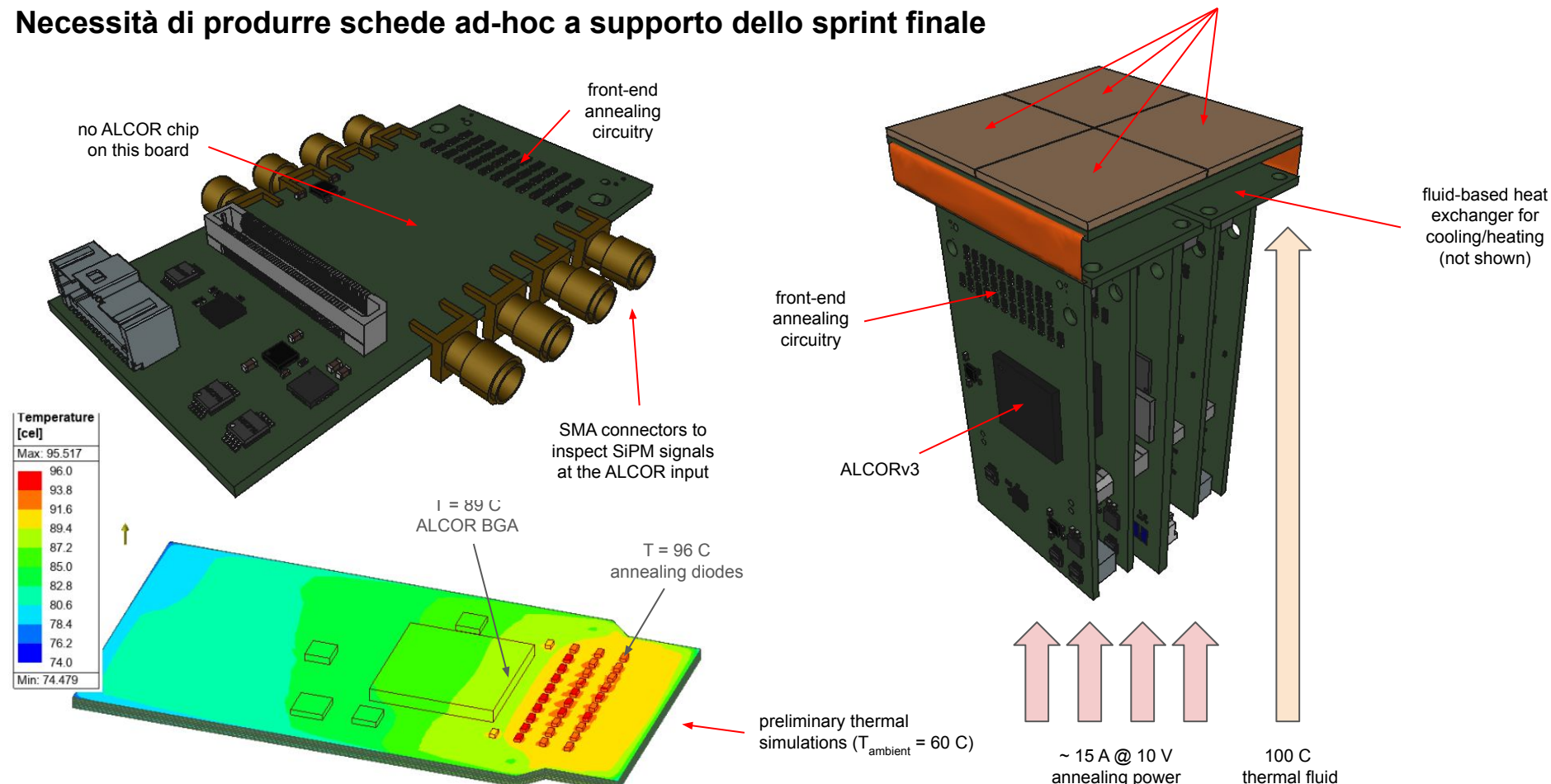
SiPM sensors can detect light without significant efficiency losses up to 500 annealing hours, hint of PDE decrease after that



Final PDU engineering and annealing

4x NTC temperature sensors on the side of the PCB in contact with the heat exchanger





Ottimizzazione delle prestazioni dei fotorivelatori



misure delle prestazioni temporali

- sono state già mostrate in passato (backup slide)
- o migliore risoluzione con le celle SPAD (Single-Photon Avalanche Diodes) da 75 μm rispetto a 50 μm
 - buona già a bassi valori di over-voltage
 - possibile migliorare con la prossima versione ALCOR-v3 (larger bandwidth)

misura delle prestazioni DCR vs. PDE

- o i sensori Hamamatsu tipo S13360 sono chiaramente superiori dei sensori S14160 (backup slide)
- o anche qui le prestazioni sono migliori nei sensori con SPAD da 75 μm rispetto a 50 μm (backup slide)
 - anche dopo irraggiamento & annealing

misure da test su fascio

o conferma anche con luce Cherenkov che i sensori con SPAD da 75 μm rivelano più luce (backup slide)

nuovi sensori Hamamatsu UV-enhanced (UVE)

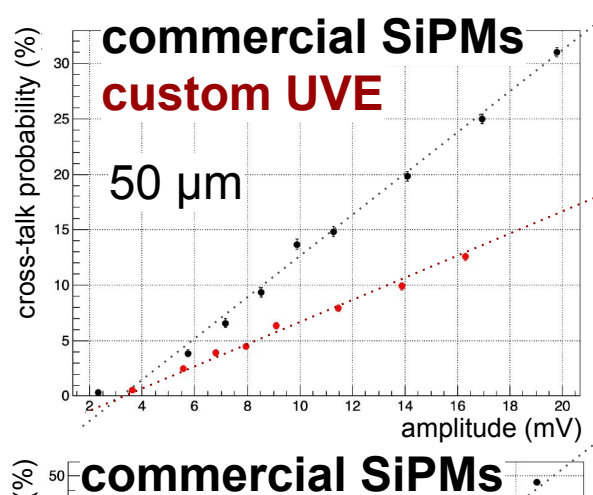
- o promettono tempo di ricarica più rapido
- maggiore efficienza di rivelazione
 - test su fascio e valutazioni finali entro la fine del 2025

Hamamatsu UV-Enhanced SiPM characterisation

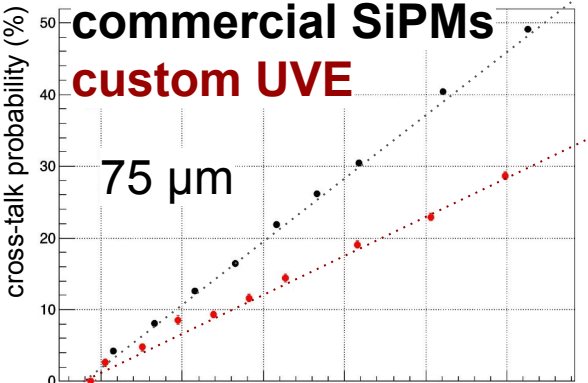
µm che da 75 µm



Risultati preliminari promettenti dai sensori custom acquistati



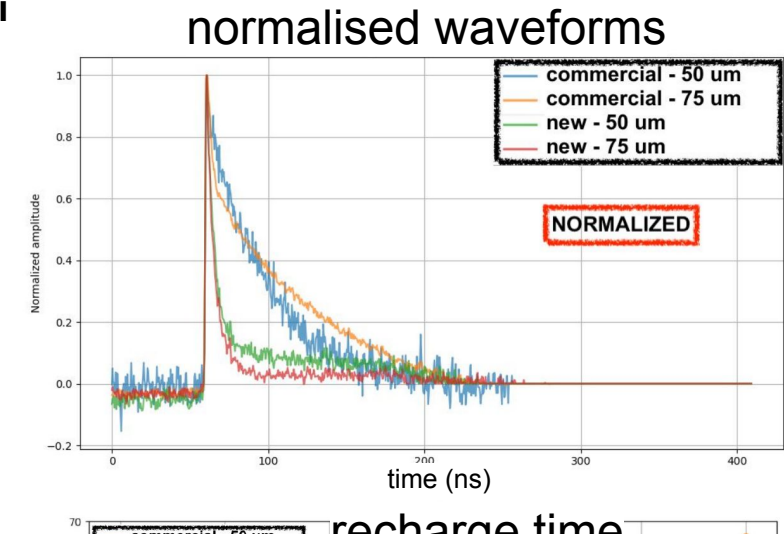
a parità di ampiezza
del segnale
la probabilità di
cross-talk è
significativamente
più bassa
sia per i sensori con SPAD da 50

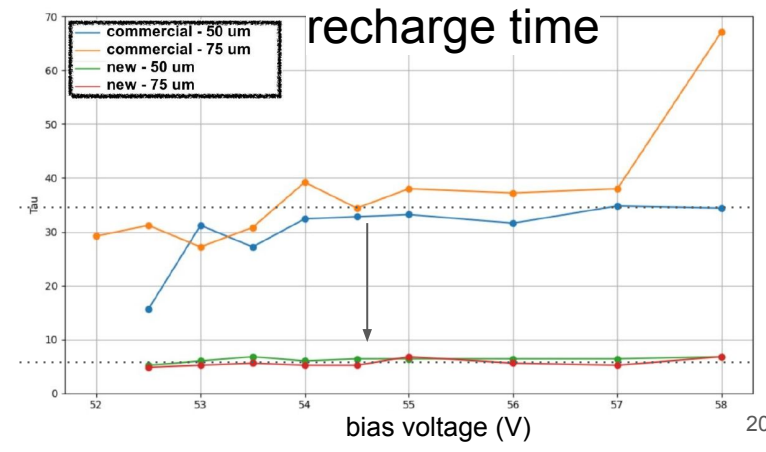


amplitude (mV)

ricarica del segnale significativamente più rapida (~5x), minore probabilità di pile-up dei segnali

misure di PDE vs DCR in corso







Alcune informazioni, stime e assunzioni di base

recente preventivo informale Hamamatsu

- singolo ordine di 6000 matrici SiPM, costo di ~ 250 EUR (+IVA) a matrice
 - totale 1500 kEUR (+IVA)
- spezzare ordine in due è possibile, ma costa ~ 50 EUR (+IVA) in più a matrice
 - da evitare se possibile
- scenario baseline è unico ordine con produzione Hamamatsu su due anni (6-9 + 15 mesi)
 - 6-9 mesi lead time dall'ordine per la prima consegna
 - 15 mesi di produzione sensori (consegne con frequenza di 400 matrici / mese)
 - previste fatture da 100 kEUR (+IVA) ogni mese dopo prima consegna

• si prevede IVA non imponibile

- o ai sensi dell'art. 8 lett. a) del DPR 633/1972 per consegna finale negli USA
- o verosimile richiedere delibera di Giunta con questa formulazione (da verificare)

incentivi per le funzioni tecniche

- o ex art. 45 del d.lgs. n. 36/2023
- o fino al 2% dell'importo posto a base di gara
- previsti fino a <u>30 kEUR</u>

TOTALE previsto 1530 KEUR

se bisogna pagare IVA al 22% bisogna aggiungere 330 kEUR

<u>note importanti:</u> i prezzi Hamamatsu sono legati al <u>cambio EUR-JPY</u> e possono variare con esso inoltre è vero in generale che i <u>costi di strumentazione e dispositivi sono in continuo aumento</u>

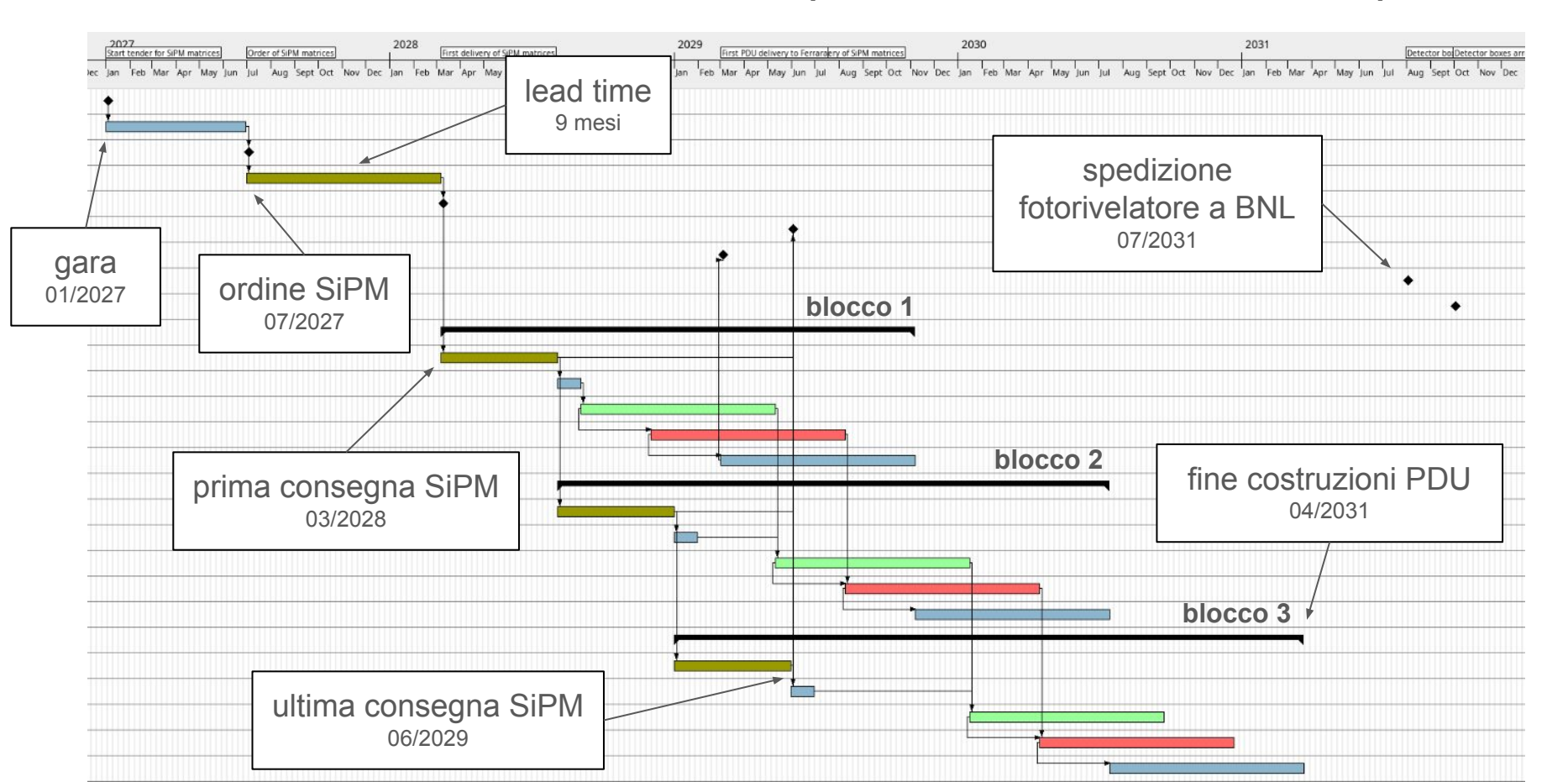


Constraint temporali per costruzione e scelte per rispettare la timeline

- installazione dRICH a ottobre 2032 dentro esperimento ePIC
 - o assemblaggio finale e commissioning del rivelatore dRICH avverrà a BNL
 - box con i fotorivelatori assemblate a Ferrara da spedire entro luglio 2031
 - ultima consegna PDU assemblate a Bologna non oltre marzo/aprile 2031
- costruzioni PDU su arco temporale di 2.5 anni
 - 2 anni di assemblaggio quando la pipeline è piena
 - o in più serve buffer di 3 mesi prima e 3 mesi dopo per la quality assurance di
 - materiali e componenti in ingresso (matrici SiPM, ...)
 - materiali e componenti in uscita (le PDU)
 - o <u>iniziare costruzioni non oltre settembre 2028</u>
- dividere le costruzioni PDU in 3 blocchi
 - o costruzioni PDU necessitano dell'assemblaggio delle SiPM carrier boards
 - che necessitano delle matrici SiPM
 - aspettare la fine della fornitura SiPM di Hamamatsu causerebbe molto ritardo (450 giorni)
 - per rispettare timeline significherebbe prima fornitura SiPM a giugno 2027
 - significherebbe profilo di finanziamento su 3 anni (invece di 4 anni) 2026, 2027 e 2028
 - ordine a fine 2026 e gara a metà 2026 (possibile, ma non necessario)
 - o integrare 1/3 dei sensori per primo blocco produzione SiPM carrier boards (150 giorni)
 - permette di posticipare la <u>prima fornitura SiPM a marzo 2028</u>



GANTT costruzione PDU assumendo limite massimo per inizio costruzioni con 3 blocchi di produzione





Profilo richieste di assegnazioni per gli anni 2026, 2027, 2028 e 2029

minimo per soddisfare la timeline della costruzione

- o si richiede un profilo di finanziamento SiPM come segue
 - 300, 500, 500, 200 kEUR negli anni 2026, 2027, 2028 e 2029
 - oltre a 30 kEUR per incentivi funzioni tecniche
- o necessità di integrare fondi per almeno 1 MEUR nelle assegnazioni degli anni 2026, 2027 e 2028
 - pagamento di 10 fatture Hamamatsu da 100 kEUR ciascuna nel 2028 = 1 MEUR
 - ulteriori fatture Hamamatsu da pagarsi nel 2029 per i rimanenti 500 kEUR

baseline per gara matrici SiPM a inizio 2027

- o delibera di giunta per indizione di gara con questa possibile formulazione
 - per la fornitura è stimata una spesa di € 1.500.000,00
 - oltre a € 30.000,00 di incentivi per le funzioni tecniche
 - IVA non imponibile
- o per un totale di € 1.530.000,00 che trova copertura nel bilancio come segue
 - € 830.000,00, esercizio finanziario 2027
 - € 700.000,00, pro-quota negli esercizi finanziari 2028-2029

questo assume ri-assegnazione della quota 2026 al 2027

- o se ri-assegnazione non fosse una strada percorribile, ci sono altre soluzioni
 - possibili se la quota di finanziamento 2026 e il profilo fino al 2029 sono rispettati

Conclusioni



Riassunto delle richieste per l'anno 2026

continuare a supportare sviluppo e integrazione del sistema completo

- sistema CAEN completo per power-supply di tutta l'elettronica del fotorivelatore
- high-performance computing system per DAQ, readout, data-taking, analisi dati online/offline, ...
- sviluppo e produzione di schede di elettronica di supporto
- o acquisti di materiale, componenti, utensili e altri articoli tecnici di consumo per laboratorio

pre-produzione di 10x photodetector units PDU complete

- 10x PDU heads con matrici SiPM
- 10x schede RDO readout board
- 40x schede FEB front-end board ALCOR-64
 - 20x schede master + 20x slave
- o più materiale per assemblaggio e cavi per test di funzionalità

acquisto di 6000 matrici SiPM per apparato dRICH

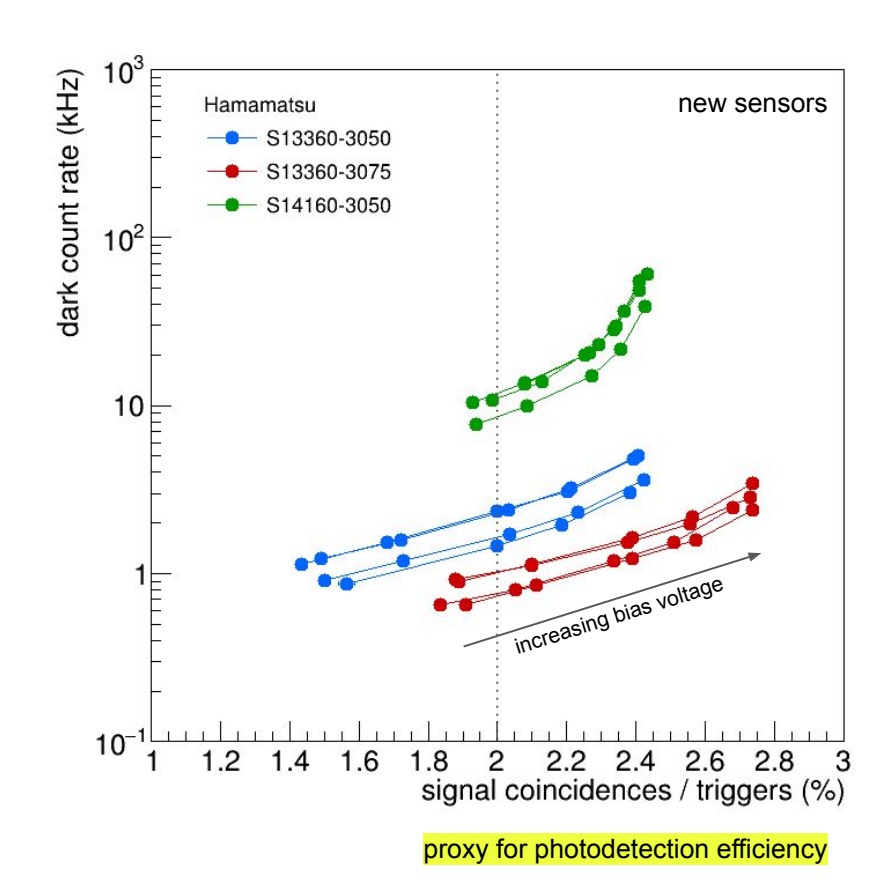
- o chiare le necessità per soddisfare la timeline delle costruzioni
- o necessario che finanziamento segua il più accuratamente possibile le linee del profilo richiesto
 - 300, 500, 500 e 200 kEUR assegnati rispettivamente negli anni 2026, 2027, 2028 e 2029

backup slides

DCR vs. PDE Comparison Between Sensors

INFN

3 Hamamatsu sensor types, 4 sensors each measured as NEW



these studies have been performed with the full ALCOR readout prototype electronics chain



at the same level of detection efficiency

namely, the probability to detect light from laser pulse different sensors have different DCR level

best: S13360-3075

most promising sensors, large pitch SPADs (75 μm)

second: S13360-3050

same technology, medium pitch SPADs (50 μm)

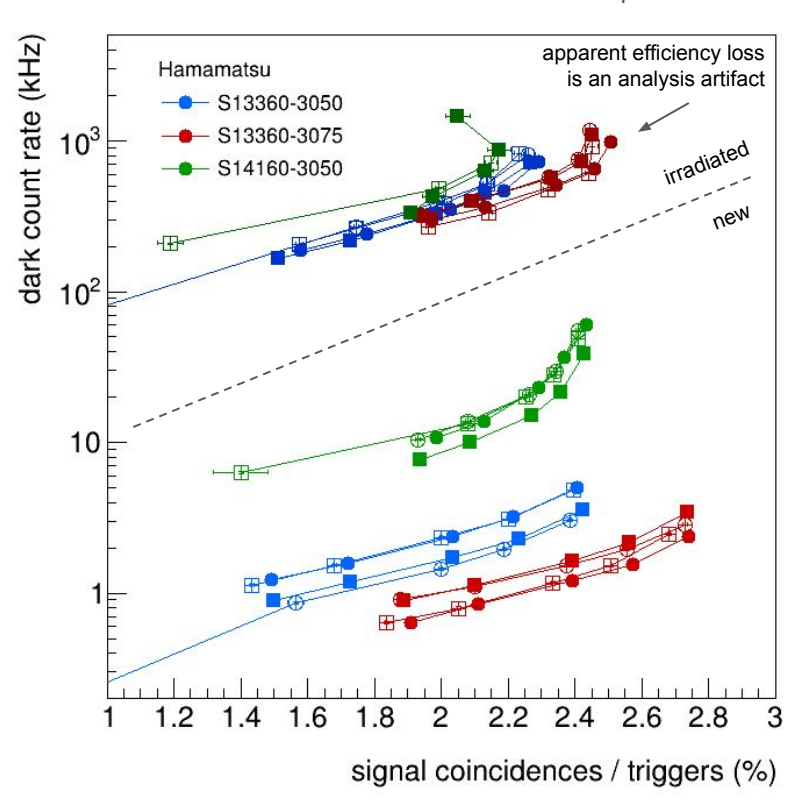
worst: S14160-3050

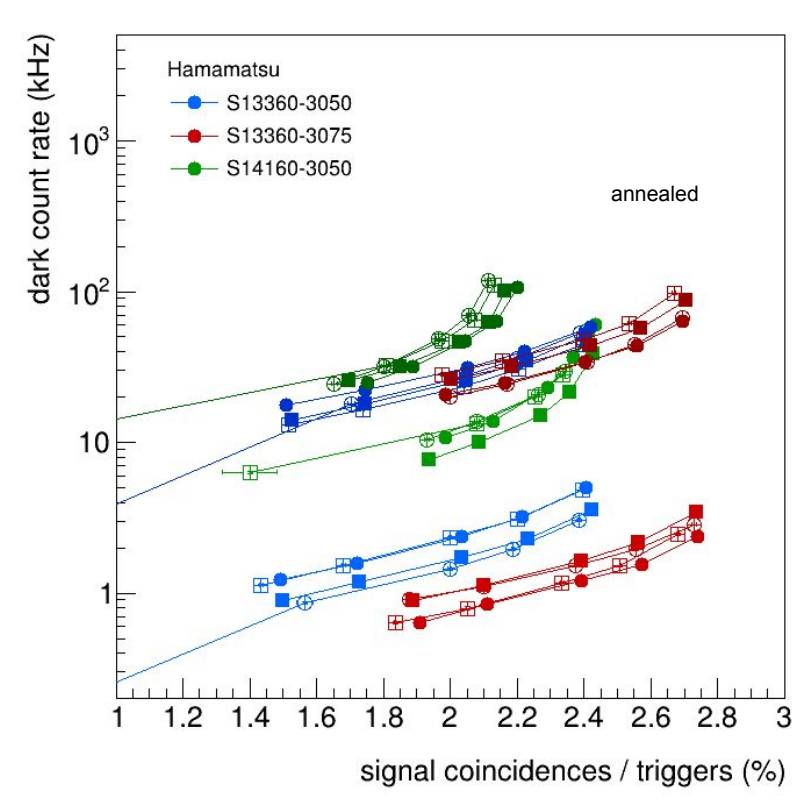
different technology, medium pitch SPADs (50 µm)

DCR vs. PDE Comparison Between Sensors



after proton irradiation with 10^9 1-MeV n_{eq}/cm^2 and after over annealing (150 hours at T = 150 C)



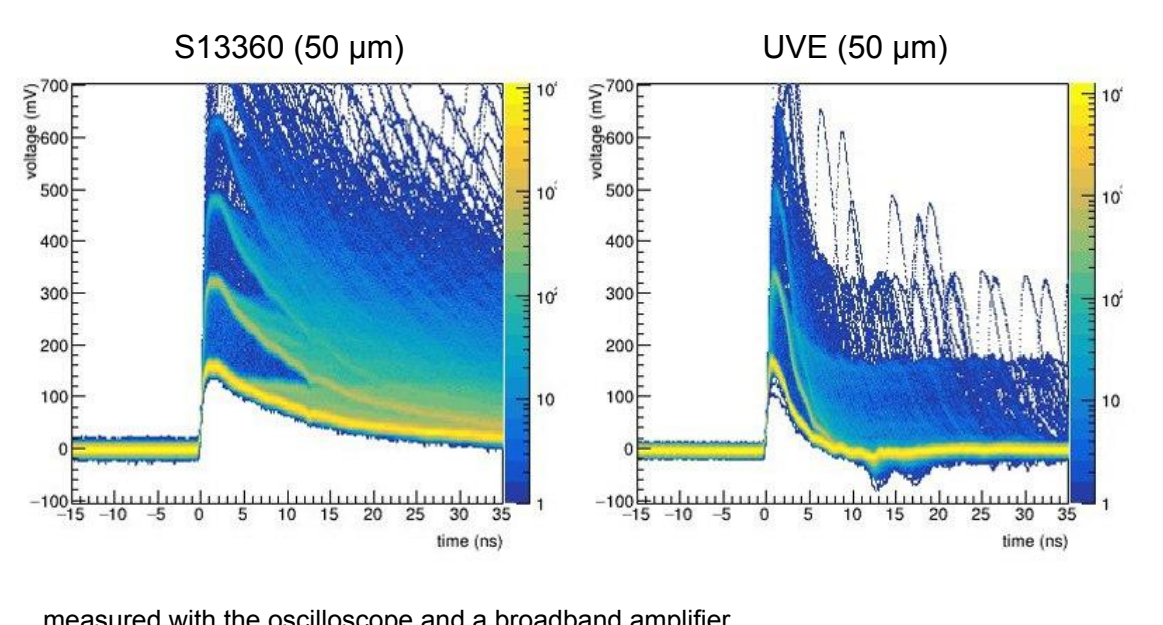


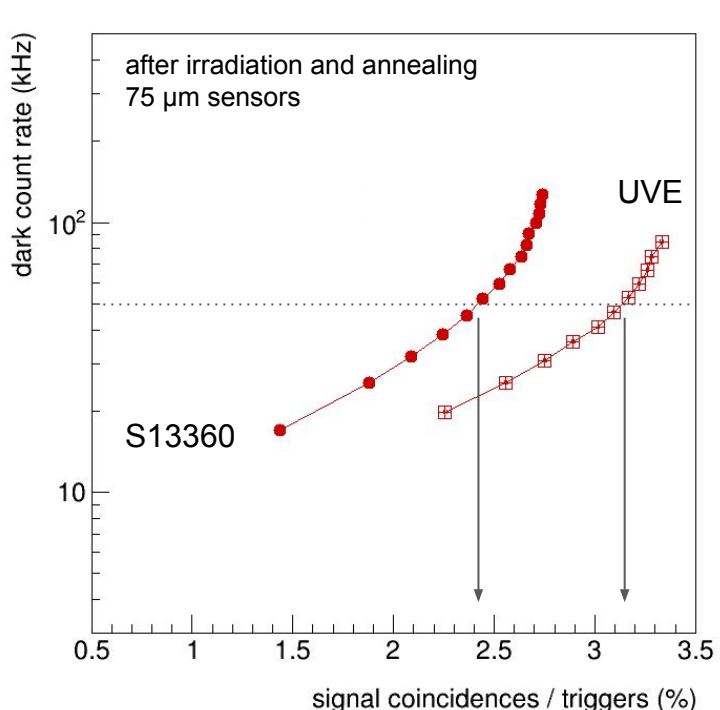
S13360-3075 sensors (75 μ m SPADs) are always at the bottom-left meaning it has higher PDE at the same DCR troubles with S14160-3050 sensors after irradiation, they also show lower efficiency after annealing

DCR vs. PDE Comparison Between Sensors



we compared the standard commercial Hamamatsu S13360 sensors with the UVE sample devices





measured with the oscilloscope and a broadband amplifier

UVE sensors have > 5x faster recharge time with the same signal amplitude

→ lower pile-up probability at high DCR

measured with the ALCOR electronics readout chain

UVE sensors have > 30% higher PDE at the same DCR of 50 kHz

note: this is measured with a 400 nm laser and the prototype have a guartz protective window check with Hamamatsu for custom devices with silicone protective window

Irraggiamento



Test di irraggiamento di sensori SiPM, componenti, materiali e schede di elettronica

ne potrebbe parlare Pietro, qui alcuni giustificativi per la spesa

- dal primissimo test irraggiamento RDO intera a Dicembre ci impariamo probabilmente qualcosa, ma nel 2026 quando il firmware della scheda è avanzato farei irraggiamenti sui componenti singoli mentre sono montati sulla RDO che frulla, per vedere se siamo bravi a beccare le failure e l'effetto che fa alla RDO
- primissimo test RDO scrubbing a Dicembre 2025, essendo il primissimo sicuramente servirà altro per finalizzare il firmare
- a CHARM nel 2025 non ci siamo andati e direi che non ci andremo (liberiamo i soldi SJ) però nel 2026 verso fine anno credo sarebbe bene farci un giro con tutta la PDU intera
- o avremo ALCOR-64 e dovremmo irraggiare anche lui che è nuovo per vedere come va
- o e bisogna anche irraggiare una matrice SiPM intera per vedere annealing in una PDU vera

abbiamo queste richieste da difendere

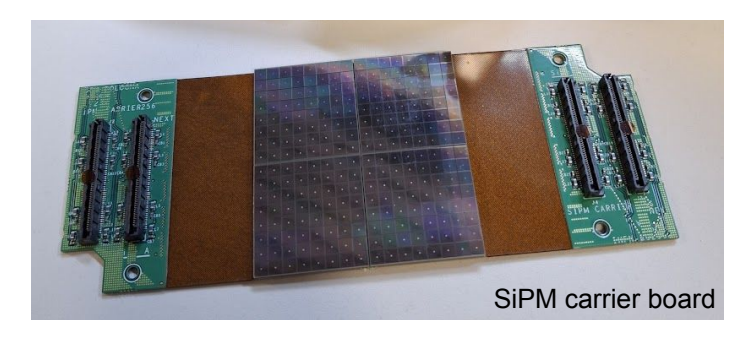
- o TIFPA, 3 sessioni
 - per le attività irraggiamento RDO, ALCOR-64 e SiPM direi che sono giustificate
- Legnaro, un turno
 - copre attività irraggiamento matrice SiPM
- CHARM, un turno
 - copre tutto e in particolare è necessario per avere mixture realistica di adroni
 - portando una PDU intera inoltre testiamo tutti i materiali (viti, colle, cavi, tutto)

Scheda di test per il QA delle SiPM carrier boards



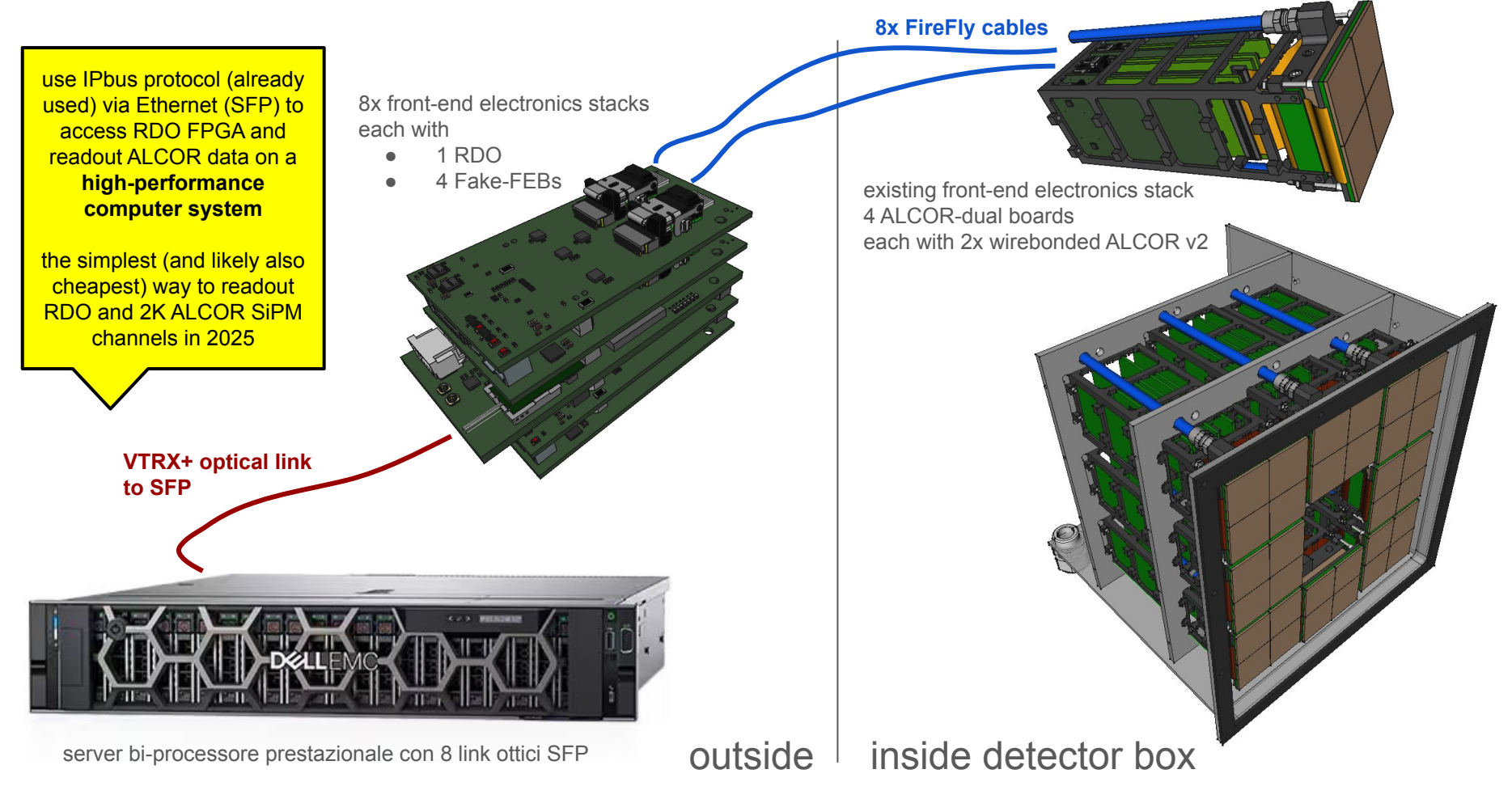
Sviluppo e realizzazione di prototipi di scheda per i futuri test di qualità delle schede SiPM carrier

- design della scheda SiPM carrier board è in fase di finalizzazione a Bologna
 - o la maggior parte dei dettagli sono stati definiti
- realizzazione di una scheda di test: SiPM carrier test board (10 kEUR su Consumo Bologna)



- Bologna progetterà e realizzerà una nuova scheda di test, dedicata a
 - verifica funzionale delle schede SiPM carrier
 - misura delle caratteristiche di base dei sensori SiPM montati
 - effettuare la calibrazione dei sensori di temperatura NTC
- o scheda necessaria per effettuare la <u>quality assurance durante la produzione</u> di massa
 - progetto che si colloca nelle attività di preparazione per la costruzione del dRICH
- la scheda sarà strumentale anche per iniziare a definire
 - o requisiti per attrezzature e strumentazione
 - protocolli per il QA delle schede SiPM carrier e dei sensori SiPM
- prima versione della scheda di SiPM carrier test board
 - design e definizione del layout da concordare insieme a Salerno
 - o sarà utilizzata inizialmente con i prototipi di schede SiPM carrier board

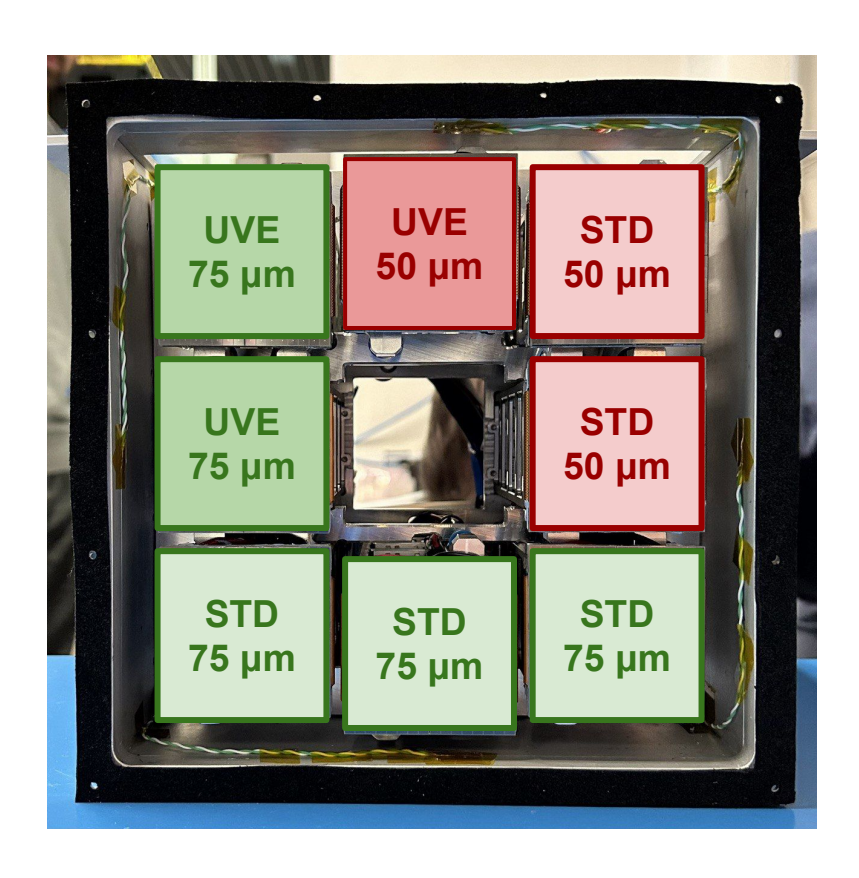
Beam-test 2025 RDO readout architecture



Hamamatsu UV-Enhanced SiPM optimisation



aim at a the next dRICH beam test to evaluate them with Cherenkov light



meeting with ingegneri Hamamatsu

- meeting produttivo a settembre 2024
- o ci possono fornire sensori custom
 - matrici SiPM 8x8 con sensori UVE
 - SMD mount
 - finestra in resina siliconica

acquistati e ricevuti

- 4x matrici con sensori da 50 μm SPADs
- 12x matrici con sensori da 75 μm SPADs
- alcuni sensori SiPM singoli

goal

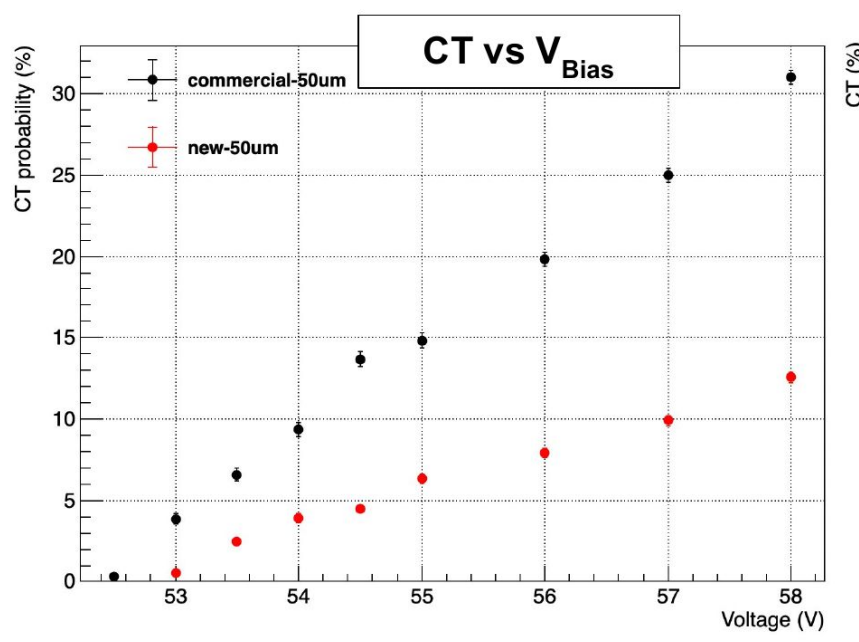
- assemblare alcune PDU nuove
- da usare nel prossimo test su fascio
- o e valutare i miglioramenti previsti

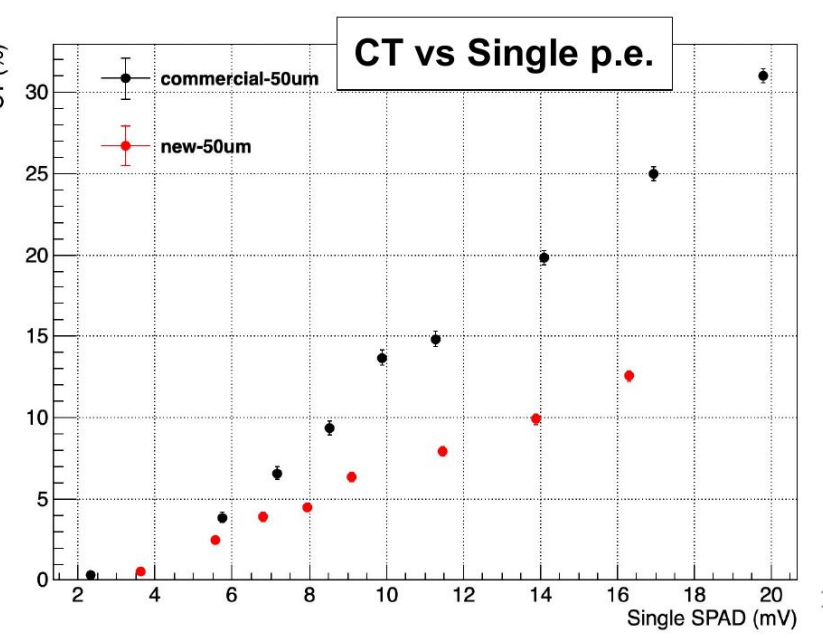


Riccardo Ricci | INFN Bologna

Results of dark analysis [50µm]

- General improvements in CT results
- Need to have a precise temperature stabilization

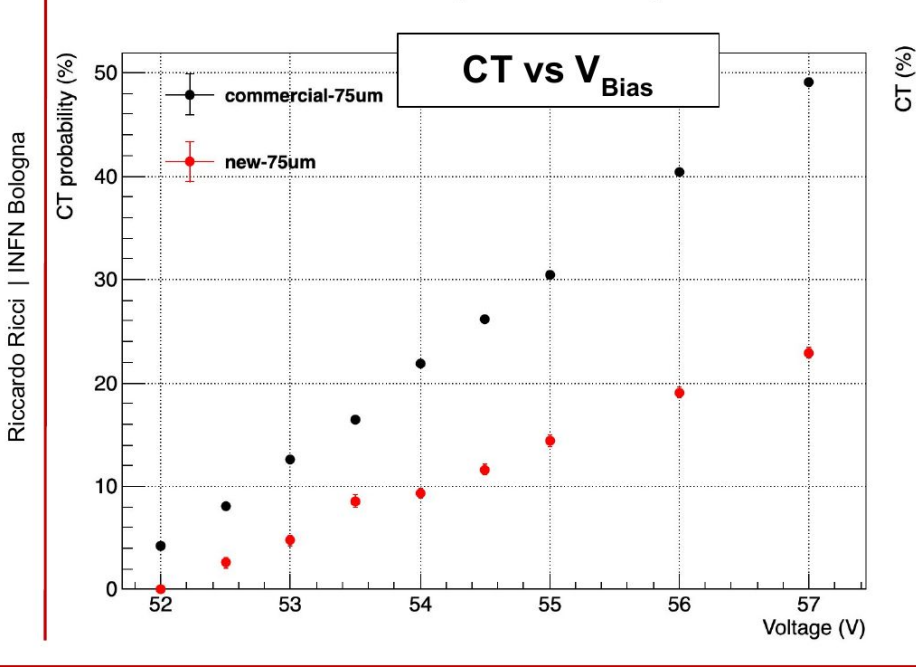


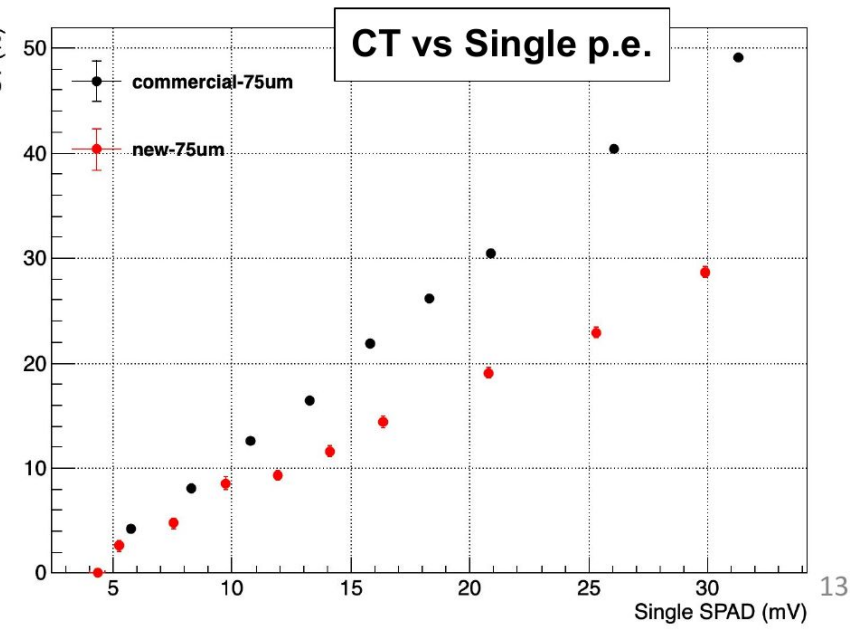




Results of dark analysis [75µm]

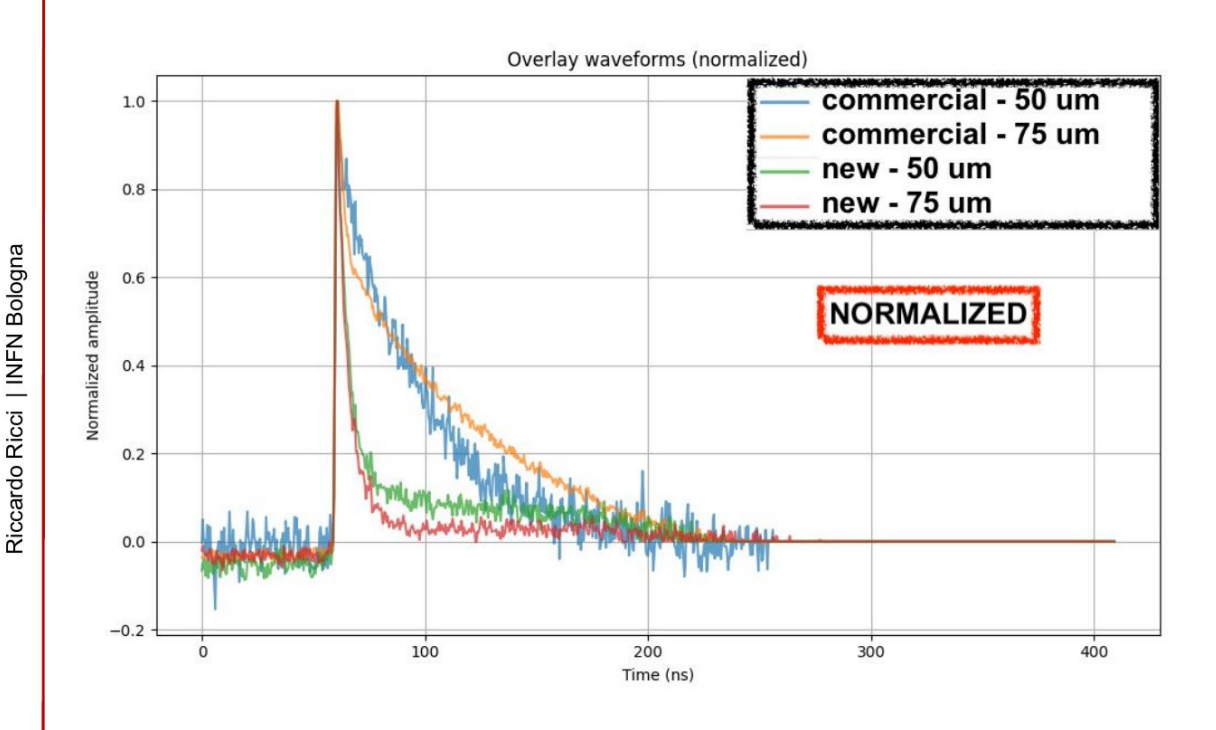
- General improvements in CT results
- Need to have a precise temperature stabilization







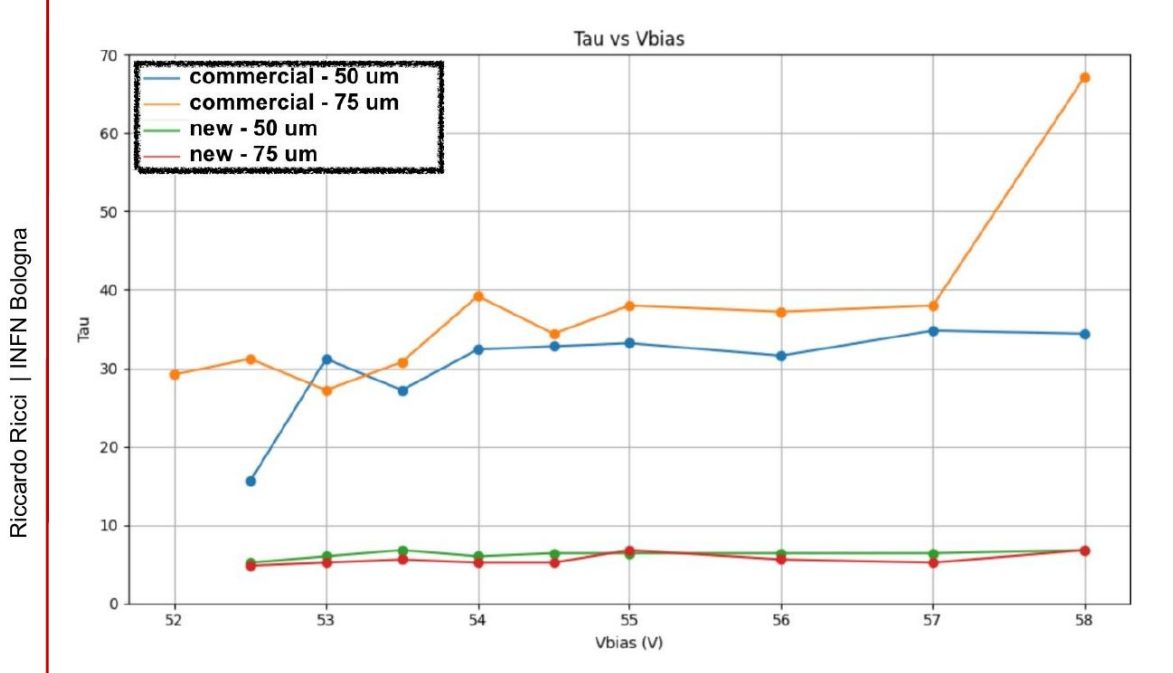
Persistence - sensor comparison



- measured at constant bias voltage: 54 V
- waveform selection: waveform over threshold, single pe, no double peaks
- after selection → median
- Breakdown voltage differs slightly between sensors → new sensors (board 41) may show lower signals than those on board 31 due to different **overvoltage** levels i.e. not the same operating point
- Same considerations applies to the next plots



Measurement of the tau



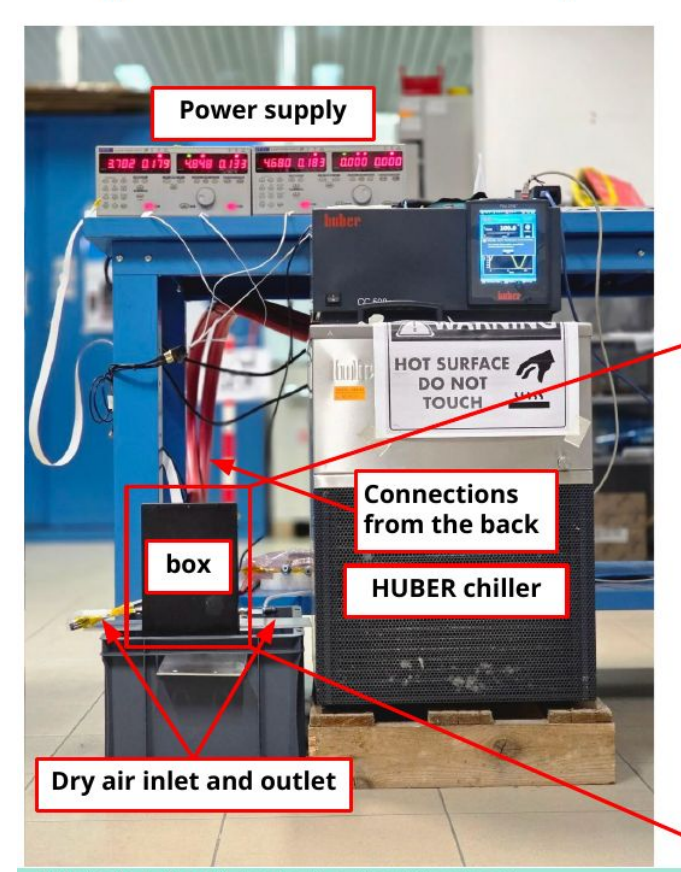
- waveform selection: waveform over threshold, single pe, no double peaks
- after selection:
 - → median (waveforms)
 - → decay constant (direct estimation)

$$\tau = t_{1/e} - t_{peak}$$



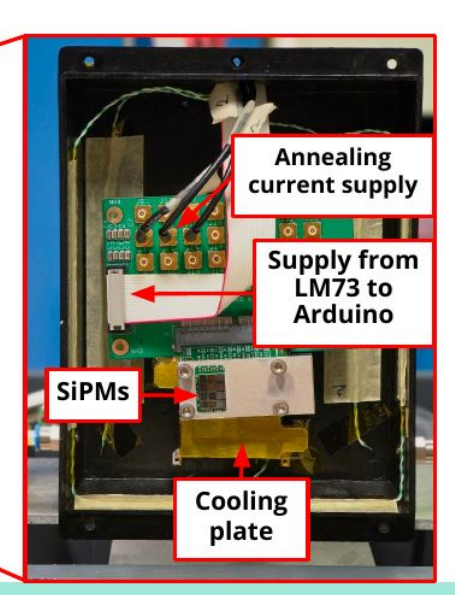
Experimental setup





Different approach for annealing:

- 1. **Humidity** will always be kept **at 0%** by flushing **dry air** in a closed a box.
- 2. It uses **both liquid chiller and forward current** to heat up the sensors upto the desired temperatures.
- 3. The goal now was to **go upto 100 °C with huber chiller** and **remaining temperatures with forward bias current**.



The SiPM board is attached on the surface of a cooling plate where liquid from the HUBER flows through it to maintain at 100 °C.

The LM73 sensor measures the ambient temperature near SiPM region.

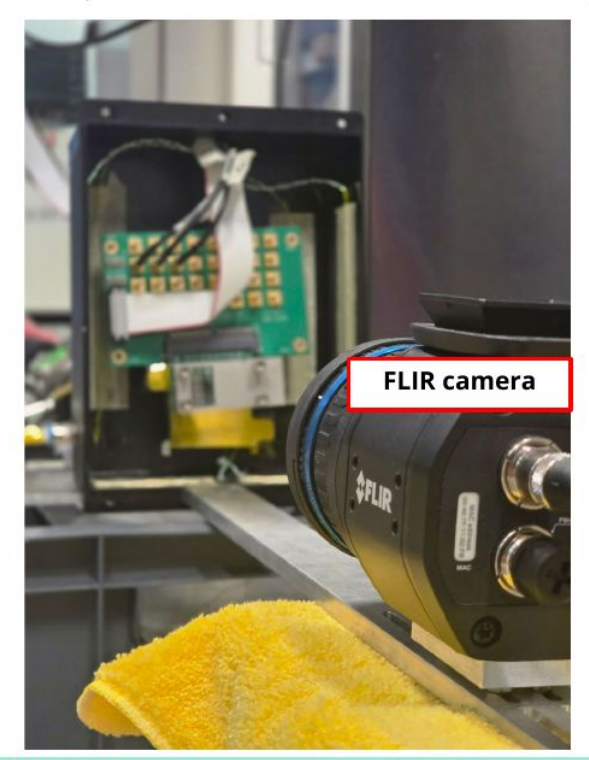
There are two main calibrations needed:

- 1. Variations of LM73 with chiller temperatures.
- 2. SiPM temperature with supplied power in forward bias.

Calibration setup and methods



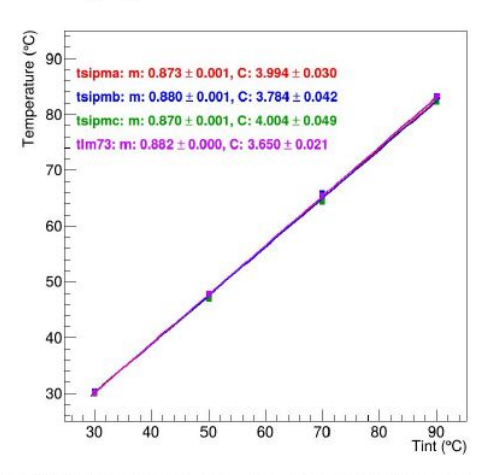
Before annealing for the calibration a FLIR thermal camera was used to measure the temperature of the SiPMs and temperature of the LM73 was measured by using an ARDUINO







All the temperature and humidity sensors, HUBER chiller, power supplies are controlled automatically by a Linux PC.

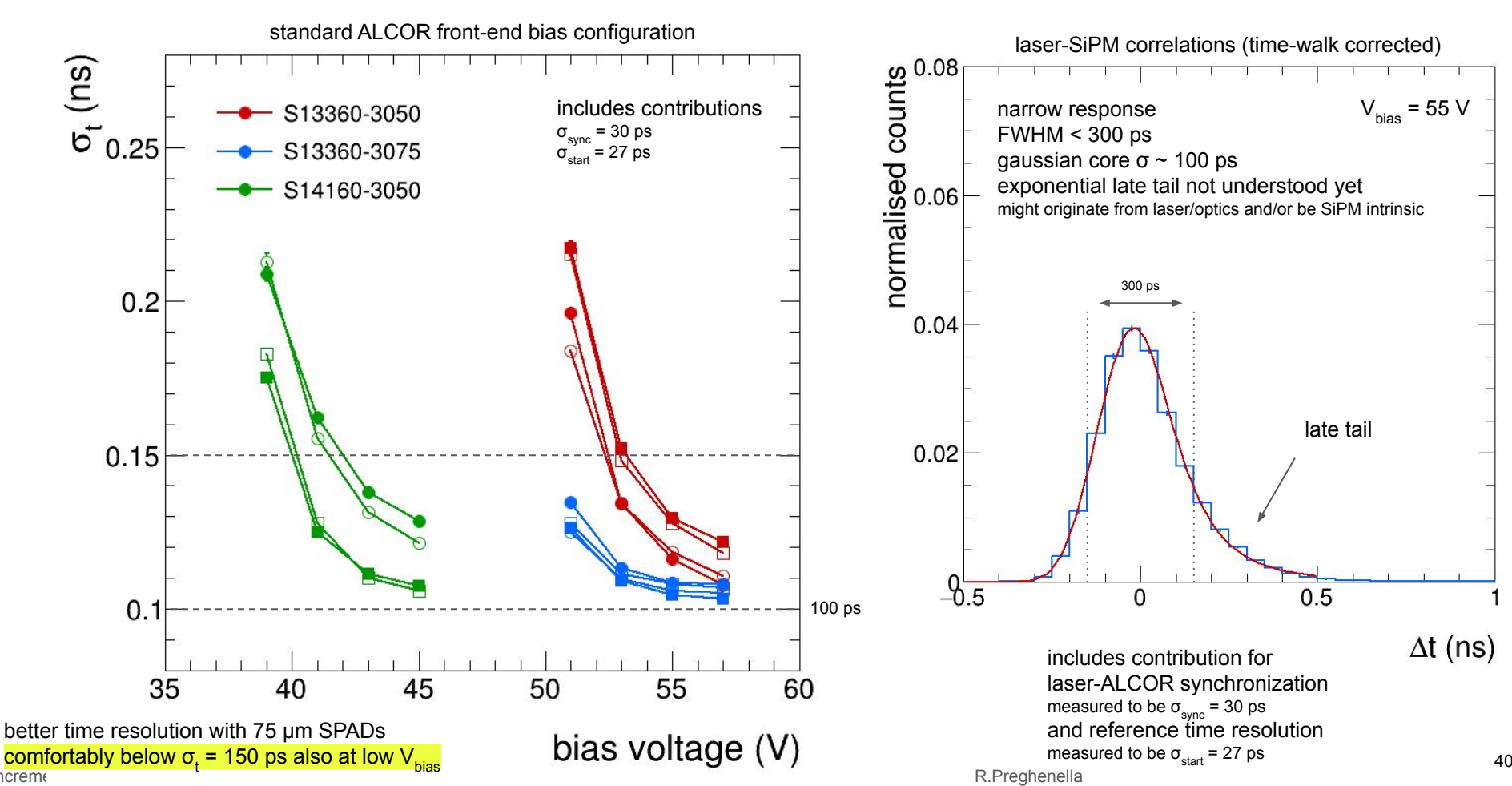


With HUBER control, all the temperatures looks almost same in the temperature range from 30 °C to 100 °C.

There is a heat loss at higher temperature.

Timing performance measurements with ALCOR

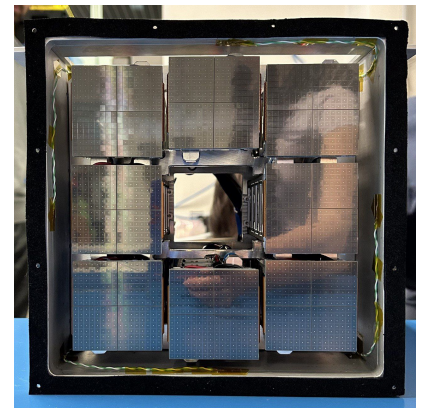




Comparison between different SiPM sensors



same Hamamatsu technology, different SPAD sizes on the beam line

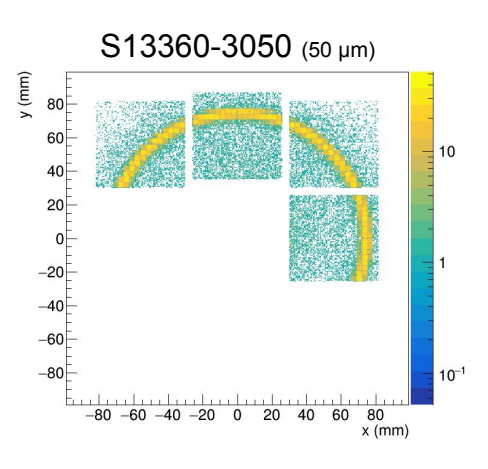


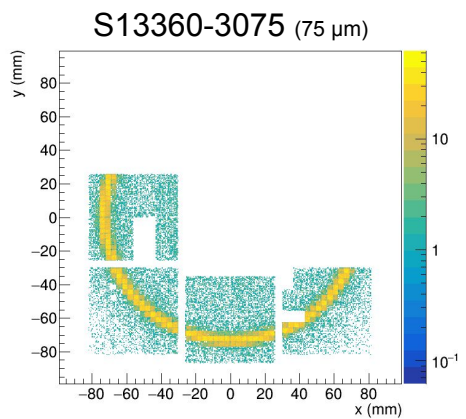
dRICH readout plane in 2024 beam test at CERN-PS

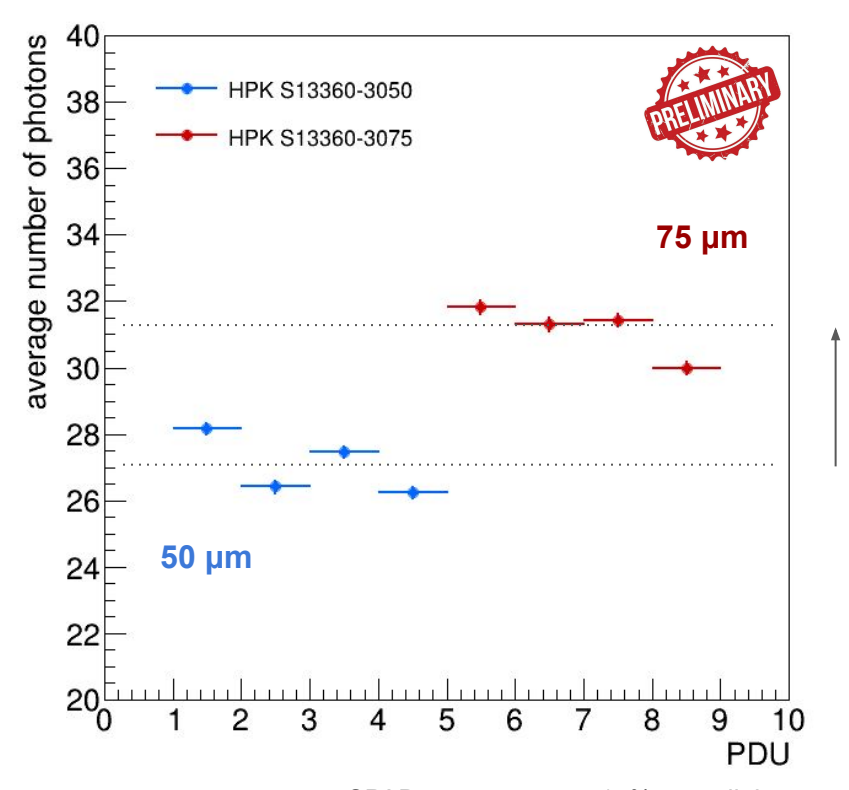
equipped with

- 4x PDUs with 50 μm sensors
- 4x PDUs with 75 μm sensors

to test Cherenkov performance of different SPAD sizes







SiPM Requirements for dRICH Optical Readout





pros

single-photon detection

requirement \square

high efficiency

requirement \square

excellent time resolution

requirement \square

insensitive to magnetic field

requirement



cons

large dark count rates

not radiation tolerant

technical solutions and mitigation strategies

cooling

timing

🔥 annealing

Annealing FEB and PDU Head Prototypes

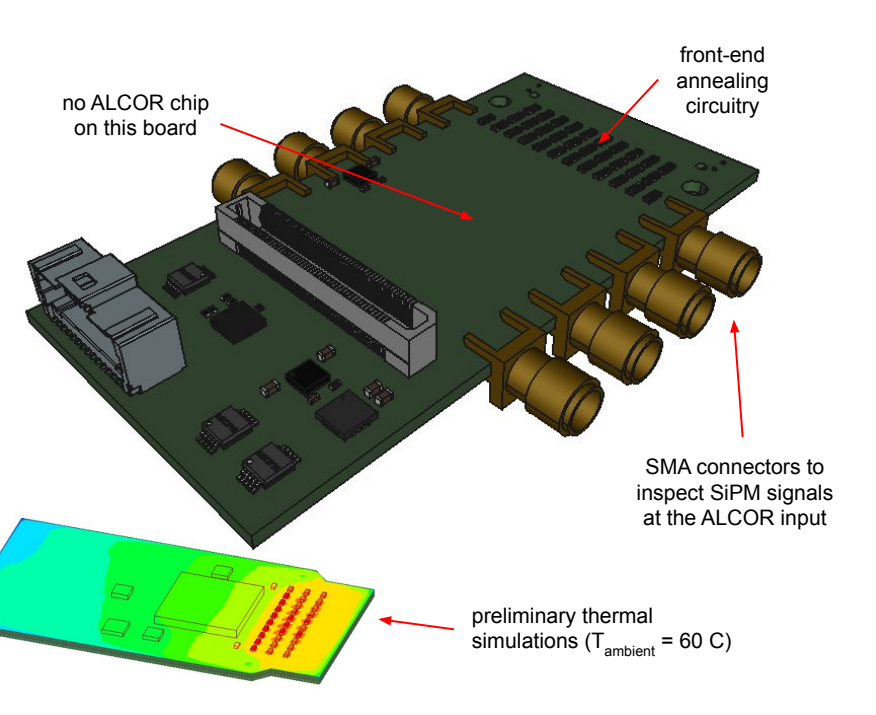


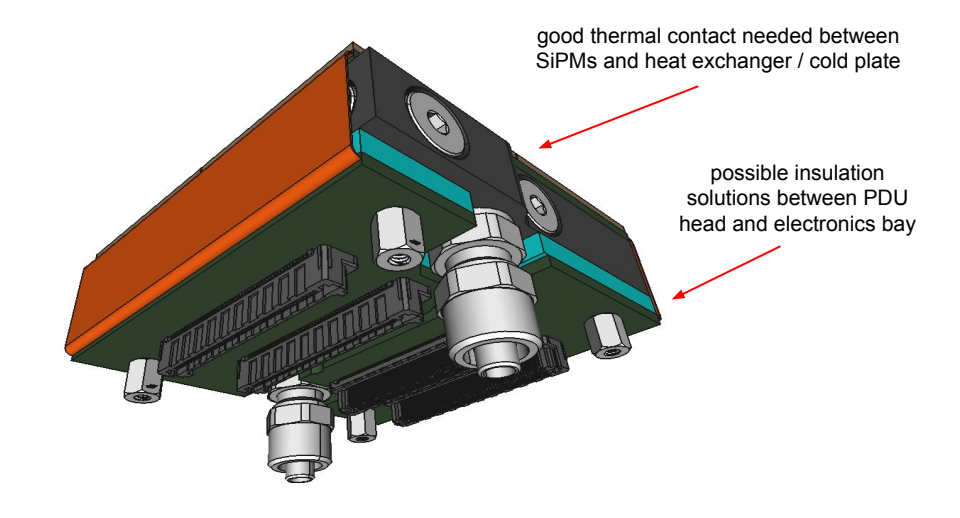
features

- like a final FEB with all annealing circuitry
- SMA connectors to inspect SiPM signals on scope

goals

- test realistic dRICH annealing electronics
- study/engineering of annealing process details





several annealing FEBs and a few PDUs will be soon produced

goals

- test assembly procedures and materials
- study thermal performance within PDU elements
- test annealing cycles with a complete realistic PDU module
- test SiPM signal transmission/integrity towards ALCOR